

GM 53602

RAPPORT DES SONDAGES 1995, PROJET RIVIERE EASTMAIN (40349)

Documents complémentaires

Additional Files



Licence



Licence

Cette première page a été ajoutée
au document et ne fait pas partie du
rapport tel que soumis par les auteurs.

Énergie et Ressources
naturelles

Québec 

**PROJET RIVIÈRE EASTMAIN (40349)
RAPPORT DES SONDAGES 1995**

M. Chapdelaine

Mai 1995

MRN - S.I.S.E.M.

1996/04

GM 53602

05374 - 007

TABLE DES MATIERES

1- Introduction	4
2- Propriété	5
2.1- Localisation et accès	5
2.2- Droits miniers	5
2.3- Contexte géologique et métallogénique	5
2.3.1- Contexte géologique régional	5
2.3.2- Contexte métallogénique régional	6
3- Travaux antérieurs	7
3.1- Travaux d'exploration	7
3.2- Travaux de cartographie régionaux	7
4- Travaux exécutés	8
5- Résultats des travaux	9
5.1- Géologie locale	9
5.1.1- Grès	9
5.1.2- Siltstone noir	10
5.1.3- Métavolcanique ultramafique/Schiste à actinote	10
5.1.4- Basalte/Schiste à chlorite, biotite	10
5.1.5- Intrusif quartzo-feldspathique	10
5.1.6- Schiste à quartz-séricite	10
5.1.7- Paraschiste à biotite-grenat	11
5.1.8- Intrusif felsique porphyrique	11
5.1.9- Gabbro	11
5.1.10- Volcanoclastite felsique (rhyolite)	11
5.1.11- Unité felsique porphyrique (volcanoclastite)	11
5.1.12- Mylonite	12
5.2- Résumé des sondages	12
5.3- Minéralisation d'intérêt	19
6- Discussion	21
6.1- Secteur nord (ouest)	21
6.2- Secteur nord (est)	21
6.3- Secteur central	21
6.4- Secteur sud	22
7- Conclusions et recommandations	24
Bibliographie	27

LISTE DES FIGURES

Figure 1	Géologie et localisation du Projet Rivière Eastmain 40349
Figure 2	Localisation des claims 1:50 000
Figure 3	Localisation des forages 1:25 000

LISTE DES TABLEAUX

Tableau 1	Historique de l'exploration
Tableau 2	Résumé technique des sondages
Tableau 3	Coupe de lignes proposée

LISTE DES PLANS

Plan 22-01	Compilation générale, partie ouest 1:10 000
Plan 22-02	compilation générale, partie est 1:10 000
Plan 21-03	Géologie structurale, partie ouest 1:10 000
Plan 21-04	Géologie structurale, partie est 1:10 000
Plan 23-01	Section L 84+00E; forage 40349-95-01 1:500
Plan 23-02	Section L 78+00E; forage 40349-95-02 1:500
Plan 23-03	Section L 68+00E; forage 40349-95-03 1:500
Plan 23-04	Section L 38+00E; forage 40349-95-04 1:500

Plan 23-05. Section L 32+00 E; forage 4034-95-05
1:500

Plan 23-06. Section L 30+00 E; forage 40349-95-06
1:500

Plan 23-07. Section L 18+00 E; forage 40349-95-07
1:500

Plan 23-08. Section L 40+00 E; forage 40349-95-08
1:500

Plan 23-09. Section L 60+00 E; forage 40349-95-09
1:500

LISTE DES ANNEXES

Annexe 1. Description des sondages

Annexe 2. Résultats d'analyses

1- Introduction

La propriété Rivière Eastmain fait l'objet de travaux d'explorations depuis 1992. Deux types de minéralisation y sont recherchés: 1- minéralisation aurifère associée à des veines de quartz-pyrrhotine-pyrite et chalcopyrite dans des zones de cisaillement silicifiées et biotitisées tel que Détour Lake et le dépôt Eastmain (MSV); 2- minéralisation aurifère disséminée associée à de faibles teneurs en sulfures tel que les dépôts d'Emu et Karonie en Australie. SOQUEM est impliquée sur ce projet suite à une entente avec Kingswood Resources Inc (aujourd'hui avec Géonova) conclue en 1992. Cet accord lui a permis d'acquérir une participation de 50% dans la propriété.

Ce rapport présente les différents sondages effectués ainsi que les résultats obtenus dans le cadre du projet **Rivière Eastmain (40349)** au cours des mois de février et mars 1995. Les travaux ont consisté en neuf forages totalisant 1595 mètres. Ils avaient pour objet de vérifier et de tester quelques conducteurs maxmin et axes PP reconnus sur la propriété. Les résultats sont décevants, aucun des neufs forages réalisés n'a révélé de minéralisations économiques. Pourtant ils semblent tous avoir atteint leurs objectifs.

Les deux sondages qui étaient optionnels, 40349-95-2b et 40349-95-8b, n'ont pas été effectués. Le premier visait la source de la minéralisation en arsénopyrite du bloc M-94-241 (5,6 et 8,89 g/t Au) et le deuxième était un suivi de l'affleurement minéralisé en arsénopyrite M-94-256 (5,28 g/t Au). Des travaux visant à compléter l'évaluation du potentiel de ces deux indices sont recommandés. Ces travaux consistent en un levé de lithogéochimie et en la cartographie et prospection au sol.

2- Propriété

2.1- Localisation et accès

Latitude: 52° 30' Nord
Longitude: 72° 02' Ouest
SNRC: 23 D/5 et 12, 33 A/8 et 9
NTS: 5821000 m. N.
298000 m. E. (zone 19)

La propriété est localisée à 345 km à vol d'oiseau au nord-est de Chibougamau. Elle est accessible par la voie des airs de Chibougamau ou de Témiscamie situé 184 km au sud-ouest.

L'altitude moyenne est de 475 mètres, le relief plat et les affleurements assez rares (Boldy et al., 1984). L'épaisseur de mort-terrain varie de quelques mètres à plus de quinze mètres.

2.2- Droits miniers

La propriété consiste en un bloc de 380 claims qui couvrent une superficie de 6077,5 hectares. Le contour de la propriété est montré tel qu'enregistré au M.R.N. sur la **figure 1** et la **figure 2**.

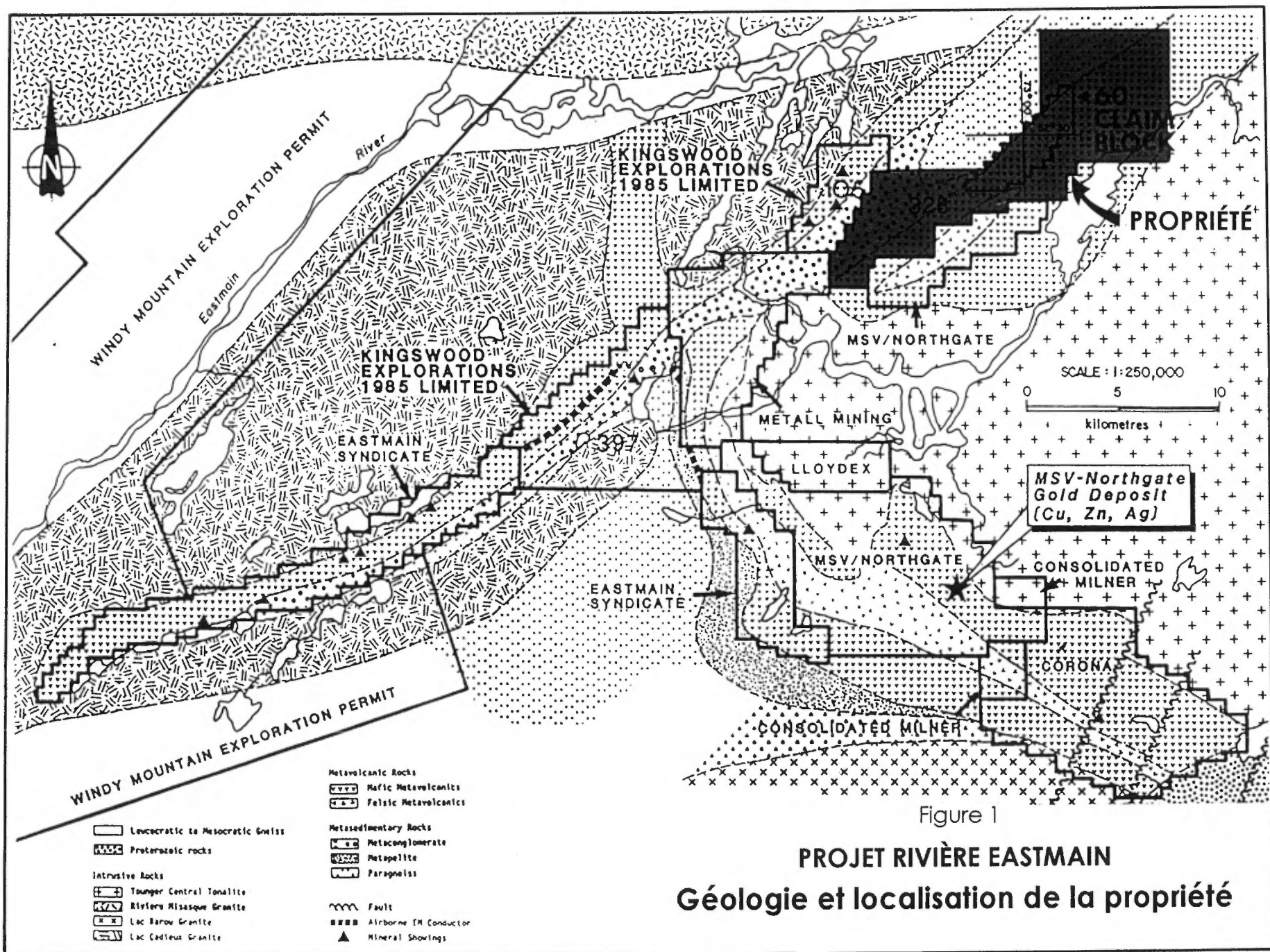
2.3- Contexte géologique et métallogénique

2.3.1- Contexte géologique régional

Les roches de la région appartiennent à la ceinture de roches vertes de la rivière Eastmain supérieure, d'âge Archéen, portion de la Province structurale du Supérieur. Cette ceinture de roches supracrustales a été déformée et métamorphisée au faciès des amphibolites au cours de l'orogénie Kénoréenne. Elle montre parfois un métamorphisme rétrograde du faciès des schistes verts (Couture et Guha, 1990). Ces roches reposent sur des gneiss archéens et sont recouvertes au sud-est par les roches Protérozoïques clastiques du bassin Mistassini-Otish.

La ceinture de la rivière Eastmain est subdivisée en deux groupes dont les épaisseurs sont inconnues:

- 1- Le **Groupe de Bohier** consiste en un métaconglomérat polymicte et une séquence de métapélite qui reposent sur une séquence migmatitique de paragneiss à biotite et muscovite.
- 2- Le **groupe de René** (plus jeune) est composé de trois unités métavolcaniques de composition ultramafique à felsique.



Microfilm

PAGE DE DIMENSION HORS STANDARD

MICROFILMÉE SUR 35 MM ET

POSITIONNÉE À LA SUITE DES

PRÉSENTES PAGES STANDARDS

Numérique

PAGE DE DIMENSION HORS STANDARD

NUMÉRISÉE ET POSITIONNÉE À LA

SUITE DES PRÉSENTES PAGES STANDARDS

Il appert que ces unités forment un synclinal renversé orienté vers le nord-ouest (315°) dont les flancs sont inclinés à environ 45° vers le nord-est (Couture et Guha, 1990).

De nombreux plutons pré-, syn- et post-tectoniques se retrouvent en intrusion dans ces roches. Ces granitoïdes contrôlent la forme générale de la ceinture d'Eastmain. Les principaux sont le pluton pré- ou syn-cinématique granodioritique du lac Cadieux, le pluton granodioritique tardi-cinématique du lac Erasme (Couture, 1987) et la granodiorite de l'île Bohier.

2.3.2- Contexte métallogénique régional

Deux types de minéralisation aurifère semblent en ce moment représenter les meilleures cibles d'explorations: 1- minéralisation aurifère associée à des veines de quartz-pyrrhotine-pyrite et chalcopryrite dans des zones de cisaillement silicifiées et biotitisées tel que Détour Lake et le dépôt Eastmain (MSV); 2- minéralisation aurifère disséminée associée à de faibles teneurs en sulfures tel que les dépôts d'Emu et Karonie en Australie.

Le gisement d'Eastmain (863 988 tonnes à 11,94 g/t Au) est localisé à l'intérieur d'un étroit couloir de déformation fragile-ductile orienté nord-ouest avec un pendage de 45° vers le nord-est: la "Eastmain Deformation Zone". Celui-ci affecte une unité mixte composée de roches ultramafiques et de volcanites mafiques et felsiques d'environ 10 à 45 m de largeur ("Mine Series"). Les indicateurs cinématiques observés dans l'environnement de cette zone de cisaillement indiquent des mouvements inverses. Trois zones minéralisées ont été délimitées sur une distance de 1,8 km. Ce sont des veines de quartz-sulfures hautement déformées qui forment des lentilles allongées.

La Mine Détour est elle aussi localisée à l'intérieur d'un corridor de déformation (le Couloir de Détour) qui se situe dans un assemblage de volcanites mafiques et ultramafiques, filons couches mafiques à felsiques, volcanoclastites et sédiments détritiques. Ces roches sont métamorphosées au faciès amphibolite inférieur. La minéralisation est située dans un horizon de "chert" au contact d'un assemblage de komatiite/basalte komatiitique et d'un assemblage de basalte tholéiitique.

3- Travaux antérieurs

3.1- Travaux d'exploration

Depuis son jalonnement en 1990 et 1992 la propriété a fait l'objet de peu de travaux d'exploration. Ils sont résumés au sein du tableau 1.

Tableau 1. Historique de l'exploration

Partenariat Placer / Eldor Resources (1983)

- Levé AEM par Aerodat (2611 km);
- Cartographie géologique de reconnaissance et prospection;
- Découverte d'un bloc décimétrique titrant 1,36% de cuivre.

Kingswood Explorations 1985 Limited (1990)

- Prospection de reconnaissance menant à la découverte de deux blocs minéralisés en or (0,15 et 0,46 oz/t Au);
- Jalonnement de 60 claims;
- Échantillonnage de till.

Kingswood Explorations 1985 Limited (1992)

- Coupe de lignes de 800m au 100m le long d'une ligne de base de 6km;
- Géophysique au sol (27 km de maxmin, 55 km de TBF, 55 km de mag);
- Implantation de 12 forages pour 1700m.

SOQUEM (hiver 1994)

- Coupe de 159,3 km lignes orientées N150°;
- Géophysique au sol (125 km de EMH-Maxmin I, 159,3 km de mag).
- Cartographie géologique et prospection.
- Découverte de deux indices aurifères: grab de 24,38 g/t Au (août), 9,14 g/t Au sur 0,5 m (septembre), dans un schiste à actinote mylonitisé. Grab de 6090 ppb Au (août), réanalysé à 5,28 g/t Au (septembre), au contact cisailé entre une séquence felsique et un gabbro.
- Découverte d'un bloc de quartz (injection) avec éponte d'arsénopyrite massive titrant 5654 ppb (août) et 8,89 g/t Au (septembre).

3.2- Travaux de cartographie régionaux

Les premiers travaux de cartographie de reconnaissance furent réalisés par Eade (1966) et furent suivis par les cartographies régionales de: Hocq (1985), Roy (1988) et Couture (1987). Ces auteurs définissent bien le contexte géologique de la région. Une cartographie plus détaillée et axée sur les principaux conducteurs maxmin et axes PP reconnus sur la propriété fut également réalisée par Francoeur et Chapdelaine (1994).

4- Travaux exécutés

De la mi-février à la deuxième semaine de mars, 9 sondages cumulant 1572,8 mètres ont été forés sur la propriété par la firme Forages Chibougamau Ltée. La planification de ces sondages avait préalablement été réalisée par M. Guy Francoeur et M. Paul Archer. Leur localisation a tenu compte des aspects suivants:

- 1- présence et intensité d'anomalie géophysique (Mag, maxmin, PP.);
- 2- présence d'indices, recoupés par forages ou en surface;
- 3- présence d'altérations;
- 4- présence de structures favorables.

Onze forages avaient été planifiés initialement dont deux optionnels. Les deux forages optionnels (40349-95-2b et 40349-95-8b) n'ont cependant pas été réalisés, pour des raisons budgétaires et géologiques.

La campagne de forage a été supervisée principalement par M. Guy Francoeur assistée par l'auteur. Un total de 663 échantillons de carottes fendues a été analysé par la firme Chimitec Ltée pour les éléments suivants: Au, Ag, Cu, Pb, Zn, Mo, As, Sb et Hg. Cela représente une longueur totale échantillonnée de 831.54 mètres.

Tableau 2. résumé technique des sondages

Trou	Section	Station	Azimut	Inclinaison	Longueur
40349-95-01	84+00 E	11+80 N	325 ⁰	-50 ⁰	120 m
40349-95-02	78+00 E	11+35 N	325 ⁰	-61 ⁰	120 m
40349-95-03	68+00 E	12+30 N	325 ⁰	-50 ⁰	202 m
40349-95-04	38+00 E	1+10 S	325 ⁰	-50 ⁰	231 m
40349-95-05	32+00 E	1+60 S	325 ⁰	-51 ⁰	183 m
40349-95-06	30+00 E	1+75 S	325 ⁰	-50 ⁰	168 m
40349-95-07	18+00 E	1+30 S	325 ⁰	-50 ⁰	194,8 m
40349-95-08	40+00 E	1+60 N	325 ⁰	-50 ⁰	150 m
40349-95-09	60+00 E	5+00 S	325 ⁰	-50 ⁰	204 m

Total de 1572,8 m.

Microfilm

PAGE DE DIMENSION HORS STANDARD

MICROFILMÉE SUR 35 MM ET

POSITIONNÉE À LA SUITE DES

PRÉSENTES PAGES STANDARDS

Numérique

PAGE DE DIMENSION HORS STANDARD

NUMÉRISÉE ET POSITIONNÉE À LA

SUITE DES PRÉSENTES PAGES STANDARDS

5- Résultats des travaux

5.1 Géologie locale

La propriété est formée par un assemblage de métasédiments, de métavolcanites mafiques, ultramafiques et felsiques, ainsi que par des intrusions de gabbro. Ces unités sont affectées par de nombreuses zones de cisaillements centimétrique à décimétriques. Les prochains chapitres décrivent plus en détail les différentes lithologies rencontrées.

5.1.1- Grès

Unité la plus répandue, le grès se présente sous plusieurs aspects (voir ici-bas). Il est généralement de couleur gris, gris brun, gris vert et gris noir, de granulométrie variant de fine à moyenne et rarement magnétique. Il est essentiellement composé de biotite, plagioclase, grenat, chlorite et quartz. Rarement cisailé, l'unité montre cependant plusieurs niveaux millimétrique à centimétrique rubanés. L'alternance des bandes s'observe par la variation des tons de gris. Les quelques cisaillements induisent parfois une rotation senestre des grains de grenat. Généralement, toutes les unités gréseuses sont injectées (1 à 2 fractures millimétriques par mètre) calcite, quartz et un peu d'épidote.

Grès arkosique: De couleur brun noir, à grain fin et non magnétique, cette variété est très massive. Composé de plagioclases (> 56 %), biotite (15 -20 %) et quartz (15 %), cette unité n'est pas minéralisée mais très injectée de veines de quartz-calcite (plagioclase). L'orientation préférentielle des grains de biotite montre une bonne schistosité.

Grès à cailloux (tuf à lapilli): Rubané irrégulièrement, à grains fins et non magnétique, la matrice occupe 40 à 60 % de la roche, pour 20 à 60 % de la part des fragments. La matrice est habituellement composée de grès de couleur gris brun et les cailloux se présentent en deux variétés. D'abord les mafiques; fragments à hornblende, chlorite et plagioclase. Puis des felsiques; principalement composés de quartz-plagioclase. Tous les fragments sont sub-arrondis à sub-anguleux et généralement allongés.

Grès conglomératique fin: Grain très fin, non-magnétique, avec un rubanement millimétrique à centimétrique. 50 à 90 % de matrice vert chamois, massive et composée de plagioclase, épidote et séricite. Une schistosité est marquée par la séricite. Finalement, 10 à 15 % de la roche est occupée par des cailloux étirés, de couleur gris noir, consistant en quartz et biotite.

Grès conglomératique felsique (volcaniclastite ?): Gris clair, à grain fin et localement magnétique. La roche est peu rubanée et composée de plagioclase quartz, grenat(0 à 2%), biotite (5 à 20 %) et séricite. L'unité peu contenir jusqu'à 60 % de fragments felsiques, moins de 5 % de niveaux mafiques millimétriques et décimétriques et moins de 5 % de zones mylonitisées et/ou silicifiées

5.1.2- Siltstone noir

Cette unité est minéralisée en pyrrhotine (5 à 10 %) et chalcopyrite (tr), sous formes de bandes et amas millimétriques semi-concordants. Fortement magnétique et très plissée (plis ptigmatiques). Elle n'est recoupée que par les forages 40349-95-1, 2 et 3, dans le nord est de la propriété.

5.1.3- Volcanique ultramafique/Schiste à actinote

De couleur gris vert sombre, généralement de grain fin à moyen, cette unité est peu à moyennement magnétique. Composé d'actinote, talc, chlorite, carbonate, biotite et quelques traces de pyrrhotine et chalcopyrite. De texture massive en générale, une faible schistosité s'y développe parfois, très localement. De rares filons de quartz sont parfois observables, ceux-ci sont déformés et accompagnés d'une légère carbonatation.

5.1.4- Basalte/Schiste à chlorite, biotite

La couleur varie de vert foncé à brun, la granulométrie est fine, il est non magnétique et offre l'une des plus forte schistosité. Il est composé de chlorite, hornblende, plagioclase, biotite et localement de grenat. Il comprend aussi des niveaux centimétriques irréguliers à biotite qui sont associés à 1-2 % de pyrrhotine disséminée et du grenat. Un peu moins de 2 % de l'unité est injectée de quartz et calcite où jusqu'à 60 % de pyrrhotine y est parfois associé.

5.1.5- Intrusif quartzo-feldspathique

La couleur fraîche de cet intrusif est gris clair à gris vert. Sa granulométrie varie de fine à moyenne et il ne démontre aucun magnétisme. Principalement composé de quartz (40 à 70 %), il contient aussi 10 à 40 % de plagioclase, 1 à 5 % de biotite et des traces de séricite, arsénopyrite, pyrite et épidote. Une bonne schistosité est marqué par les minéraux micacés et quelques zones (< 20 %) mylonitisés et localement épidotisé sont également présentes.

5.1.6- Schiste à quartz-séricite

Le forage 40349-95-06 a intersecté des épaisseurs métriques de schiste à quartz-séricite. Gris chamois à gris foncé, à grain fin et non-magnétique. Il offre des rubanement irrégulier millimétrique à centimétrique. Formé de quartz, plagioclase, séricite et des traces de biotite et grenat. Contient également 1 % de pyrrhotine et des traces de tourmaline. Quelques peu schisteux, l'unité contient entre 0 et 10 % de fragments siliceux centimétriques, étirés. Très légèrement épidotisé.

5.1.7- Paraschiste à biotite-grenat

Le rubanement (millimétrique à centimétrique) consiste en l'alternance de bandes gris clair (70 %), brun roux (20 %) et vert foncé (10%). La roche est finement grenue et non-magnétique. Principalement composé de plagioclase et quartz (>80 %), elle contient aussi de la biotite, grenat et hornblende.

5.1.8- Intrusif felsique porphyrique

Intercepté seulement dans le trou 40349-95-07 composé de 40 % de plagioclase en porphyre (< 4 mm), des yeux de quartz (< 10 %) et une matrice de biotite (20 - 40 %).

5.1.9- Gabbro

Habituellement de couleur vert foncée, à grain moyen et peu à fortement magnétique, l'unité est composée à 60 % de hornblende et 40 % de plagioclase. Il est massif, la schistosité varie de nulle à forte. Il comprend des fractures (< 10 fractures mm/m) injectées de calcite et quartz.

5.1.10- Volcanoclastite felsique (Rhyolite)

Gris bleu clair, aphanitique et non-magnétique. Elle a un aspect massif et montre des cassures conchoïdales. De composition essentiellement felsique elle comprend aussi 2 % de biotite et des traces d'épidote, calcite, pyrite et séricite. Elle est injectée (< 1/m) de veine de quartz fumé et pyriteuse parfois déchiquetée, ainsi que de filon de calcite-quartz et pyrite. Le contact de cette unité avec le gabbro est occupé par une protomylonite à aspect plus mélanocrate et biotitisé. Elle comprend des injections millimétriques (> 20 fractures mm/m) de calcite-pyrrhotine (tr) et chalcopryrite (tr), ainsi que 1 % de pyrite en niveaux millimétriques et amas centimétrique, 1 à 5 % de pyrrhotine, des traces de chalcopryrite en amas et avec de la calcite, ainsi que des traces d'arsénopyrite. Cette protomylonite est la continuité (à une distance de 1,4 km) de la structure découverte à l'été 1994 qui avait titré 5,28 g/t d'or. Les résultats furent cependant décevants en forage, moins de 50 ppb (Au) sur un peu moins de 5 mètres.

5.1.11- Unité felsique porphyrique (Volcanoclastite)

Unité rubanée (millimétrique à centimétrique), non-magnétique et de couleur gris brun, gris vert et gris. Les minéraux ont une granulométrie fine, sauf lorsqu'il s'agit des porphyres de quartz fumé qui ont un diamètre de 1 à 4 millimètres. Elle se compose de plagioclase, quartz, biotite, épidote, séricite, grenat (< 5 %), pyrrhotine (0 à 10 %), pyrite (0 à 2 %) automorphe et sphalérite. La minéralisation se distribue de façon sub-concordante en niveaux millimétriques à centimétriques. Elle possède une forte schistosité marquée par l'alignement préférentiel des micas ainsi que par l'étirement des porphyres de quartz.

5.1.12- Mylonite

Les forages devaient intercepter trois couloirs de mylonitisation, soit celui du nord pour les forages 1 à 7, celui du centre pour le forage 8 et le sud pour le trou 9. Finalement, la puissance des mylonites interceptées au nord par les trous 1 à 7 n'a jamais excédé 6 mètres. En fait, la moyenne des zones était de quelques centimètres tout au plus. La puissance de la protomylonite interceptée au trou 8 faisait environ 4 mètres. Seul le trou 9, testant les structures du sud, a démontré la présence d'une ultramylonite d'une puissance de plus de 20 mètres.

Les zones mylonitiques du nord sont présentes principalement dans le basalte et le grès, elles montrent une très forte linéation d'étirement ainsi qu'un faible magnétisme. Elles contiennent entre 5 et 15 % de pyrrhotine, moins de 1% de pyrite et développent des altérations en biotite, séricite et chlorite. Dans les trous 40349-95-5 et 6 elles s'associent avec de faibles valeurs aurifères qui s'échelonnent sur plusieurs mètres. Dans le trou 40349-95-8, la protomylonite se situe au contact du gabbro et de la volcanoclastite et retourne de très faibles anomalies aurifères. Finalement, l'ultramylonite du sud, interceptée par le trou 9 s'avère stérile, cependant la puissance de ce couloir et le contexte géologique où il se situe font encore de cette zone un secteur potentiellement intéressant malgré tout.

5.2- Résumé des sondages

40349-95-01

Cible: Tester le conducteur maxmin MM12 en amont glacier du bloc M-94-241 minéralisé en arsénopyrite (5,65 et 8,89 g/t Au). La profondeur cible était d'environ 78 m pour un corps pentant à 75° (estimation selon maxmin).

Résumé du sondage:

<i>de</i>	<i>à</i>	<i>description</i>
0	7,09	Mort-terrain.
7,09	50,40	Grès arkosique, peu minéralisé.
	12,40 à 12,46	Shale noir graphiteux, 2% de pyrite.
	39,16 à 39,55	Shale noir graphiteux, 2% de pyrite.
50,40	52,15	Siltstone noir (horizon minéralisé), 5 à 15% de pyrrhotine, trace à 1% de chalcopyrite. Excellents conducteurs dm. Plis pygmatiques.
52,15	120,00	Unité ultramafique, non minéralisée.
	52,15 à 52,62	Biotitisée et épidotisée. Pyrrhotine 2%, disséminée à grain fin.
	52,15 à 53,76	Biotitisée et chloritisée. Pyrrhotine 2%, disséminée à grain fin.

Résultats: Le conducteur maxmin MM12 est expliqué. La minéralisation observée dans le siltstone noir (50,40 à 52,15) forme en effet d'excellents conducteurs. Aucune trace d'arsénopyrite n'a été notée. L'aspect sédimentaire de la minéralisation laissait peu d'espoir quant à son potentiel aurifère, les valeurs n'ont pas dépassé le seuil de détection. La meilleure valeur n'excède pas 56 ppb d'or.

40349-95-02

Cible: Tester le conducteur MM12 associée à un haut magnétique en forme de charnière ouvrant vers l'ouest. Le conducteur MM12 est une source possible du bloc M-94-241 minéralisé en arsénopyrite (5,65 et 8,89g/t Au). La profondeur cible était d'environ 65 à 95m.

Résumé du sondage:

<i>de</i>	<i>à</i>	<i>description</i>
0	37,50	Mort-terrain.
37,50	54,60	Basalte, non magnétique. Forte schistosité.
45,12	à 45,30m	Grenat 15%, en amas de 2mm. 2% de pyrrhotine disséminée à grain fin.
46,50	à 54,60m	5 à 25% de niveaux cm riche en biotite.
48,00	à 54,60m	Grenat 5 à 30%, en amas <1cm. 2% de pyrrhotine disséminée à grain fin.
54,60	107,76	Grès, peu minéralisé à l'exception de bandes cm à grain plus fin qui contiennent 2 à 5% de pyrrhotine.
55,26	à 55,30m	Pyrrhotine 25% au contact d'un "fragment" de basalte dm.
59,51	à 59,80m	Mylonite marquée par une forte linéation minérale, pyrrhotine 5%, séricitisée, magnétique.
51,47	à 52,16m	1 à 3% de pyrite et trace de chalcopyrite.
55,72	à 58,21m	Mylonite, 5% de pyrite et pyrrhotine.
64,70	à 65,61m	Siltstone noir sur plus de 70% de l'intervalle. Pyrrhotine 2 à 5%.
72,38	à 72,93m	Schiste à biotite, séricite et graphite; 2 à 5% de pyrite.
92,00	à 109,00m	Réduction progressive de la granulométrie, indiquant une polarité inverse.
100,85	à 101,16m	20% de niveaux mm à cm de siltstone noir comprenant 5% de pyrrhotine.
107,76	112,39	Zone minéralisée, fortement magnétique. Consiste en un siltstone noir localement graphiteux qui renferme de 5 à 20% de pyrrhotine et de 0 à 5% de pyrite disséminées et en amas mm étirés selon Sp.
108,38	à 109,65m	20% d'injection de quartz et d'épidote, avec 10% de pyrrhotine et 5% de pyrite.
110,08	à 112,39m	Intervalle fortement carbonatés.
112,39	120,00	Unité ultramafique, massive, non minéralisée et non magnétique.

Résultats: Plusieurs conducteurs sont intersectés le long de ce sondage. Le conducteur maxmin MM12 est intersecté plus profondément que ce qui était attendu. La minéralisation est semblable à celle observée dans le sondage 40349-95-01. Aucune trace d'arsénopyrite n'a été notée. La meilleure valeur n'atteint que 122 ppb d'or sur 1,5 m et correspond à une zone riche en grenat et ne comprenant que 2 % de pyrrhotine dans un basalte. Les quelques valeurs dans les conducteurs ne dépassent pas 52 ppb d'or.

40349-95-03

Cible: Tester le conducteur maxmin MM13 associé à un haut magnétique, à proximité de roches ultramafiques et d'une interférence (troncature) de linéaments magnétiques. Vérifie aussi la continuité du conducteur MM12. Les profondeurs cibles étaient d'environ 31 à 45m pour la continuité de MM12 et 123 à 170m pour le conducteur MM13.

Résumé du sondage:

<i>de</i>	<i>à</i>	<i>description</i>
0	20,16	Mort-terrain.
20,16	51,87	Grès, peu minéralisé.
	36,38 à 36,60m	Mylonite, peu minéralisée.
	45,00 à 46,50m	Plus de 20 fractures à calcite et pyrite par mètre. Près de 1% de pyrite sur l'ensemble.
51,87	57,70	Unité ultramafique, fortement carbonaté, localement biotitisé, peu minéralisé.
57,70	128,29	Basalte, trace de pyrrhotine sur l'ensemble. Localement, trace de chalcopryrite et d'arsénopyrite.
	126,92 à 128,29m	Biotitisation, l'intensité augmente vers le contact inférieur.
128,29	154,15	Unité ultramafique, peu minéralisé.
	132,52 à 132,86m	Mylonite, 10 à 20% de pyrrhotine et trace de chalcopryrite.
	132,86 à 133,70m	Zone de contact, 15% de niveaux mm à cm de schiste à biotite. Inclue 6cm à 20% de pyrrhotine.
	133,70 à 135,90m	Schiste à biotite et porphyre de plagioclase.
	135,90 à 136,50m	Zone minéralisée, 15 à 20% de pyrrhotine, trace de chalcopryrite. Forme d'excellents conducteurs dm.
	151,12 à 153,25m	Mylonite (probable?), riche en biotite, 0 à 15% de pyrrhotine.
154,15	202,00	Grès, non minéralisé.

Résultats: Aucune minéralisation d'intérêt n'est observable dans la continuité du conducteur MM-12. Le conducteur MM-13 est expliqué par les différentes minéralisations qui se situent au sein de l'unité ultramafique, aucunes d'elles n'affichent des résultats supérieurs à 84 ppb d'or. Les plus hautes valeurs se situent dans les zones légèrement biotitisé et dans l'unité volcanique magique. Elles n'excèdent pas 188 ppb d'or.

40349-95-04

Cibles: Vérifier l'axe PP aurifère IP-15 et la portion conductrice (MM5) de l'axe PP IP-10. Tester la possibilité d'une importante zone de déformation suite aux observations de terrain. Suivi, 200m plus à l'est, à l'indice GF-94-214 qui a donné jusqu'à 24,38 g/t Au en échantillon à main et 3,09 g/t Au sur 0,50m en rainure.

Résumé du sondage:

<i>de</i>	<i>à</i>	<i>description</i>
0	6,25	Mort-terrain.
6,25	38,51	Grès conglomératique (ou tuf à lapilli).
	37,08 à 37,50m	Pyrrhotine 5% en amas étirés associés à 40% d'injections de calcite.
38,51	59,10	Schiste à actinote.
	53,00 à 59,10m	Niveaux cm de schiste à biotite: 10%; niveaux cm à calcite-quartz: 5%.
59,10	84,04	Alternance cm à dm de grès fin et plus grossier.
84,04	90,55	Schiste à actinote.
90,55	157,36	Grès.
	101,00 à 121,00m	Intervalle intensément plissé. Litage variant de 0 à 90°AC alors que la schistosité est d'environ 80°AC.
	127,32 à 130,19m	Bande silicifiée et épidotisée. Pyrrhotine 1 à 5%.
	148,00 à 157,04m	Grès grossier (semblable au précédent).
	157,13 à 157,36m	Injection de quartz, 5 à 10% de pyrrhotine (conducteur).
157,36	169,55	Schiste à actinote, chlorite et calcite.
169,55	197,51	Basalte.
197,51	231,00	Grès.

Résultats: Peu de sulfures ont été recoupés par ce sondage. Ils permettent cependant d'expliquer les anomalies géophysiques. Plutôt qu'une zone de cisaillement c'est plutôt une importante zone de plissement qui fut recoupé. L'analyse la plus forte ne titre que 201 ppb d'or sur 0,5 m, à l'intérieur du grès.

40349-95-05

Cibles: Tester la portion conductrice (MM4) de l'axe PP IP-11 qui a retourné 9,67m à 0,5g/t Au 100m plus à l'est. Teste aussi l'axe PP localement aurifère IP-10. Possibilité d'une importante zone de déformation. Les profondeurs cibles étaient d'environ 50 à 80m pour MM-4 et 115 à 155m pour IP-10.

Résumé du sondage:

<i>de</i>	<i>à</i>	<i>description</i>
0	13,50	Mort-terrain.
13,50	56,60	Grès, peu minéralisés.
22,50 à 43,50m		Aspect silicifié (protomylonite localement), pyrrhotine <1%.
47,65 à 48,00m		Mylonite.
51,00 à 56,60m		Pyrrhotine, trace à 5% en amas et niveaux concordants mm, forment conducteurs. Associée à une protomylonite
56,60	63,87	Schiste à actinote.
56,60 à 57,62m		Lambeaux de veines de quartz: 15%, 15 à 20% de niveaux mm à cm de schiste à biotite. Pyrrhotine <1%.
56,60 à 57,62m		30% de niveaux mm à biotite. Pyrrhotine 5 à 10% (conducteur).
63,87	68,15	Basalte.
68,15	95,50	Grès, peu minéralisé.
68,15 à 68,55m		Pyrrhotine 2 à 5%, disséminée.
68,58 à 68,80m		Siltstone noir graphiteux. Excellent conducteur grâce à 20% de pyrrhotine, 2% de pyrite et trace de chalcopryrite.
68,80 à 71,22m		Pyrrhotine 1 à 10%. Associée à silicification et mylonitisation.
95,50	99,90	Schiste à actinote carbonatés.
99,90	117,45	Intrusif quartzo-feldspathique.
117,45	120,65	Grès fin.
120,65	122,20	Basalte chloritisé.
122,20	122,46	Siltstone noir, pyrrhotine 5%.
122,46	156,70	Basalte.
122,46 à 123,98m		Zone de faille, échantillon broyé, peu de récupération: Basalte chloritisé avec trace de pyrite.
156,70	183,00	Grès fin, non minéralisé.

Résultats: Le sondage intersecte entre 56,60 et 71,22 m plusieurs horizons conducteurs qui expliquent le conducteur MM4. Ce type de minéralisation, situé dans un schiste à actinote, évoque l'indice GF-94-214. Il a retourné les plus fortes valeurs du trou, soit: 413 ppb (sur 0,99 m), 640 ppb (sur 1,5 m) et 953 ppb (sur 0,55 m) en or. À noter que le 953 ppb est dans une zone de forte carbonatation.

La minéralisation intersectée dans le siltstone noir entre 122,20 et 123,98 associée à la zone de faille justifie l'anomalie PP IP-11. Elle ne reflète cependant pas d'anomalies aurifère.

40349-95-06

Cible: Tester la portion conductrice (MM4) de l'axe PP IP-10 parfois anormale en or. Teste aussi l'axe PP aurifère IP-11 (9,67m à 0,5g/t Au 300m plus à l'est) et la possibilité d'une importante zone de déformation. Les profondeurs cibles étaient d'environ 30 à 60m pour IP-11 et 90 à 120m pour MM4.

Résumé du sondage:

<i>de</i>	<i>à</i>	<i>description</i>
0	3,45	Mort-terrain.
3,45	27,93	Schiste à quartz-séricite, peu minéralisé.
27,93	54,36	Protomylonite (Grès conglomératique à biotite). Pyrite <1%.
	49,84 à 50,00m	Pyrite 2%, chalcoppyrite <1%.
	51,18 à 51,30m	Siltstone noir: 5% de pyrrhotine, 5% de pyrite et trace de chalcoppyrite en niveaux mm.
54,36	76,82	Grès à biotite, peu minéralisé.
76,82	95,07	Intrusif quartzo-feldspathique avec <20% de niveaux dm de basalte.
	82,93 à 83,17m	Schiste à actinote carbonatés, faiblement magnétique.
	83,17 à 83,53m	Siltstone noir: 2 à 5% de pyrrhotine et pyrite en niveaux mm.
	91,32 à 92,82m	Schiste à actinote, biotite <5%, pyrrhotine <1%.
	94,14 à 94,48m	Filon de quartz, 2 à 5% de pyrite.
	94,48 à 95,07m	Basalte injecté de calcite et épidote, pyrite 2% en niveaux mm conducteurs.
95,07	99,37	Grès conglomératique.
99,37	104,00	Schiste à actinote.
104,00	163,55	Basalte chloritisé à grenat.
	104,00 à 104,54m	Zone de faille, échantillon broyé, peu de récupération: Filon de quartz à fractures de talc et chlorite avec amas mm de pyrrhotine et pyrite.
	104,54 à 118,50m	Pyrrhotine 2% en moyenne, et 10 à 20% de 108,37 à 108,63 (conducteur). Ces minéralisations sont associées à la chlorite et à des injections de quartz-calcite.
163,55	168,00	Grès conglomératique, non minéralisé.

Résultats: L'axe PP IP-11 est intersecté de 49,84 à 51,30 m. Il titre 183 ppb en or sur une longueur de 4,36 m. Pour sa part, le conducteur MM4 est intersecté entre 108,37 et 108,63 m. Il fait partie d'une large bande polarisable 104,54 à 118,50 m, où 5,5 m ont rendu jusqu'à 345 ppb d'or, incluant 911 et 702 ppb d'or sur 0,7 et 1,5 m respectivement.

40349-95-07

Cibles: Vérifier les axes PP et maxmin IP2 et MM2-IP5 révélés aurifères par le sondage 92 EM 1 qui montre de nombreuses intersections métriques d'environ 200 ppb Au. Ce forage testait aussi la possibilité d'une importante zone de déformation. Les profondeurs cibles étaient de 45 à 85 m pour IP2 et 155 à 190 m pour MM2.

Résumé du sondage:

<i>de</i>	<i>à</i>	<i>description</i>
0	19,00	Mort-terrain.
19,00	75,96	Paraschiste à biotite-grenat. Souvent silicifié et épidotisé, parfois mylonitisé.
22,50 à 26,36m		Intrusif felsique à porphyre de plagioclase.
26,36 à 28,90m		Protomylonite.
52,87 à 53,79m		Épidotisation par >30 fractures mm/m à épidote. Pyrrhotine <1%.
57,82 à 75,96m		Aspect silicifié, <20% andradite, ± épidotisé, pyrite tr à 2%.
75,96	100,12	Proto et ultramylonite. Pyrite et pyrrhotine <1 à 2%.
99,95 à 99,97m		Pyrrhotine 20%, pyrite 10%.
100,12	171,35	Grès conglomératique felsique (volcaniclastite?), faiblement épidotisé, parfois silicifié et mylonitisé (peu minéralisé).
157,89 à 160,96m		Basalte altéré?, >60% de niveaux cm à 60% de hornblende.
171,35	177,19	Basalte, fracturé par >20 plans à chlorite et talc par mètre et injecté par de 10 à plus de 50 injections mm de calcite.
174,93 à 176,40m		Pyrrhotine 5 à 35%, pyrite 2 à 20%. En niveaux mm à cm conducteurs, qui brèchifient le basalte. Associées à carbonatation intense et mylonitisation locale.
177,19	194,80	Grès, non minéralisé.

Résultats: Ce sondage montre de nombreuses apparences de silicification et épidotisation. Malgré cela, les sulfures sont restreints en deux bandes qui expliquent les anomalies PP et le conducteur maxmin obtenus. Le basalte intersecté de 174,93 à 176,40 m correspond assurément au conducteur MM-2. Il s'est révélé anomal en or, montrant jusqu'à 182 ppb.

40349-95-08

Cibles: Vérifier le conducteur maxmin MM14 en son plus intense et en association avec un haut magnétique. Teste de plus la continuité vers l'ouest de la minéralisation observée sur l'affleurement M-94-256: Un cisaillement minéralisé en arsénopyrite situé au contact d'un gabbro et d'une unité felsique. Ce cisaillement a rendu jusqu'à 5,28 g/t Au en échantillon à main. La profondeur cible était comprise entre 70 et 100m.

Résumé du sondage:

<i>de</i>	<i>à</i>	<i>description</i>
0	9,00	Mort terrain.
9,00	32,96	Grès fin.
32,96	79,08	Gabbro.
76,25 à 79,08m		Protomylonite, silicification.
79,08	135,78	Volcanoclastite felsique.
79,08 à 81,58m		Protomylonite, 1 à 5% de pyrrhotine, 1% de pyrite et trace de chalcopyrite et d'arsénopyrite.

82,86 à 83,02m	Mylonite, non minéralisée.
83,02 à 83,25m	Pyrrhotine 10%.
135,78 150,00	Basalte.

Résultats: Comme à l'affleurement M-94-256, on retrouve au contact du gabbro et de la volcanoclastite felsique une zone de cisaillement minéralisée. Cependant, seulement des traces d'arsénopyrite y ont été notées. Ce cisaillement, en apparence silicifié, ne s'est pas révélé anormalique en or (49 ppb Au sur 2,5 m). Les minéralisations qui y sont observées justifient le conducteur MM14.

4001-94-09

Cibles: Tester deux conducteurs maxmin sub-parallèles, localement anomaux en or, situés dans un haut magnétique. Ces conducteurs sont situés dans, ou à proximité, d'un couloir de mylonitisation observé sur le terrain. Les profondeurs cibles étaient de 60 à 85 m et 125 à 175 m.

Résumé du sondage:

<i>de</i>	<i>à</i>	<i>description</i>
0	4,50	Mort terrain.
4,50	24,72	Gabbro.
24,72	74,91	Grès fin, souvent mylonitisé.
	56,00 à 74,91m	Ultramylonite, silicifiée et épidotisée. Niveaux cm à dm comprenant jusqu'à 60% pyrite et jusqu'à 10% de pyrrhotine.
74,91	128,25	Schiste à actinote, talc et magnétite. Fortement magnétique.
128,25	204,00	Unité felsique à porphyres de quartz (volcanoclastite). Souvent mylonitisée, comprend 2% de niveaux mm à cm de pyrite, pyrrhotine et sphalérite massives.

Résultats: Ce sondage a recoupé plus de sulfure que tout autre de cette campagne. Cela justifie aisément les deux conducteurs maxmin. Quand à elle l'anomalie magnétique est liée au niveau de schiste à actinote, talc et magnétite fortement magnétique. Aucune valeur en or ne dépasse 65 ppb, nous attendons toujours les résultats d'analyse pour le zinc.

5.3- Minéralisation d'intérêt

Le trou 40349-95-5 a intercepté une zone titrant 312 ppb en or de 45,00 à 61,50 mètres (16,50 m.). Cette zone comprend trois échantillons qui donnent des valeurs allant de 738 à 960 ppb d'or sur près de 1,5 mètres chacun. Les lithologies hôtes sont un grès à biotite silicifié et peu minéralisé, localement mylonitisé au contact avec un schiste à actinote biotitisé montrant des

lambeaux de veines de quartz qui comprennent des traces de pyrrhotine et qui est localement carbonatés. Ce trou se corrèle très bien avec une vieille intersection (92 EM 12) qui avait rendu 504 ppb d'or sur 9,67 mètres, 100 mètre plus à l'ouest.

Deux autres zones se sont aussi avérées faiblement anormales, dans le trou 40349-95-6. Premièrement, de 50,0 à 54,36 mètres (4,36 m.), 183 ppb d'or dont un maximum de 225 ppb sur 1,12 mètres ont été analysés dans une protomylonite. Cette zone de déformation est située dans un grès conglomératique en contact avec un schiste à actinote ainsi qu'un siltstone noir. Le maximum de minéralisation consistait en 5 % de pyrrhotine, 5 % de pyrite et des traces de chalcopryrite. Deuxièmement, 5,5 mètres (de 104 à 109,5 m.) à 345 ppb d'or incluant 911 et 702 ppb sur 0,7 et 1,5 mètres respectivement a aussi été interceptés. La roche est un basalte chloritisé à grenat en contact avec un schiste à actinote. Il est à noter que l'échantillon à 911 ppb provient d'une zone de faille où la récupération de la carotte était inférieure à 50 %. Ce qui restait consistait en un mélange de boue de faille comprenant de 0 à 25 % de pyrrhotine ainsi que des injections de calcite et quartz.

6- Discussion

6.1- Secteur nord (ouest)

Ce secteur, qui comprend les forages 40349-95-4 à 7, s'est avéré très décevant. Quelques faibles anomalies aurifères ont été détectées, mais aucune concentration n'est présente. Les structures majeures qui étaient attendues n'ont jamais excédé une puissance de plus de quelques mètres. Certaines failles, offrant moins de 50 % de récupération, se sont avérées faiblement anormales. Finalement, il est certain que le système contient de l'or et que si une concentration existe, les méthodes d'exploration utilisées jusqu'à maintenant sont à repenser, dans ce contexte.

6.2- Secteur nord (est)

Les forages 40349-95-1 à 3 de ce secteur visaient à vérifier le potentiel d'une minéralisation du type de la mine Détour, en Ontario. Le contexte mis au jour par les forages reste bon mais aucune discontinuité majeure n'a été détectée et la minéralisation interceptée en forage a un aspect très sédimentaire. Certains hauts mag de ce secteur restent sans explication et pour ce qui est de la tentative de retracer le bloc aurifère de quartz et d'arsénopyrite (M94-241), les relevés maxmin ne semblent pas être d'un grand secours. Ceux-ci ont tous été expliqués sans qu'une minéralisation en arsénopyrite soit présente.

6.3- Secteur central

Cette portion n'a été testée que par le forage 40349-95-8, effectué à 1,4 km à l'ouest de l'indice aurifère M94-256 en continuité avec le conducteur maxmin MM-14. Ce forage, bien que stérile, à lui aussi confirmé une zone de cisaillement localisée entre le gabbro et l'unité felsique. Cependant, la largeur de la protomylonite interceptée semble beaucoup moins importante que celle observée sur l'affleurement M94-256.

L'affleurement M94-256 est situé au sein d'une superposition structurale qui se traduit par un changement d'attitude de la faille du centre de la propriété. Elle effectue une réfraction vers le nord en direction du gabbro qu'elle semble recouper étrangement puisque sa réponse magnétique est complètement tronquée. Le bloc M94-241 est dans l'axe (interprété) de cette nouvelle structure. Tout ceci est localisé au sein du secteur non couvert par les relevés maxmin et PP.

Des similitudes avec le contexte du gisement aurifère de Sigma-2 (Val D'or, Abitibi) peuvent être avancées:

- le gisement est situé à l'intérieur d'un filon-couche différencié,
- des valeurs inférieures à 50 ppb d'or sont présentes dans le gabbro, à proximité des structures,

- les épontes de la zones aurifère sont constituées d'arsénopyrite contenant des valeurs d'or sub-économiques,
- les principales zones se situent en jonction (superposition) des structures,
- les roches hôtes du gisement ont une signature tholéiitique.

La zone économique du gisement de Sigma-2 est en fait située au sommet de l'intrusion, dans la partie granophyrique. Bien que la différenciation magmatique observée jusqu'à présent au sein de l'intrusion gabbroïque de Rivière Eastmain ne soit pour l'instant pas aussi spectaculaire que semble l'être celle de Sigma-2, nous croyons en l'existence de cette zone. Selon les polarités observées en forage et sur le terrain, le sommet de ce filon-couche, s'il existe, se trouve au sud-est des affleurements travaillés jusqu'à présent. C'est-à-dire à l'est de l'affleurement M94-256.

6.4- Secteur sud

Le forage 40349-95-9, bien qu'il se soit avéré l'un des plus décevant de la campagne, a fait ressortir l'un des contextes géologiques les plus encourageant de la propriété. Il visait à tester deux conducteurs maxmin sub-parallèles, déjà identifiés et localisés sur le terrain, localement anomaux en or. Les conducteurs ont largement été justifiés, le sondage a recoupé plus de sulfures que tout autre de la campagne (y compris de 2 à plus de 5 % de sphalérite entre 148,6 et 149,05 m. ainsi que 152,14 et 153,81 m respectivement).

L'environnement géologique mis au jour par le trou 40349-95-9 rappelle le contexte du camp minier de Bousquet-Dumagami-Doyon.

- Les roches de la région font partie d'une séquence felsique ayant subi une histoire tectono-métamorphique complexe.
- Les lithologies ont en commun l'occurrence de phénocristaux et/ou de porphyroblastes de quartz bleu (yeux de quartz).
- La présence d'amas massifs de pyrite étirés selon la linéation d'étirement des roches encaissantes. Les grains de pyrite de ces corps massifs sont polygonisés, ce qui traduit une restauration syn à tardi tectonique.
- Des sulfures disséminés se présentent en bordure des corps massifs.
- Les roches associées aux corps de sulfures massifs sont foliées et linéées.

Dans le camp minier la minéralisation aurifère est spatialement associée aux corps de pyrite massive. Cependant, ces corps ne sont pas systématiquement aurifères. Ils doivent être situés à l'intérieur d'enveloppes d'altération. D'abord une enveloppe interne consistant en un schiste à

andalousite et une externe consistant en un schiste à séricite. La biotite est systématiquement absente de ces zones altérées. Sans entrer dans les détails, la lithogéochimie constitue aussi un excellent guide. La rétrogression des assemblages du métamorphisme prograde est **spécifiquement** liée à la mise en place de la minéralisation économique. Les zones aurifères contiennent aussi, dans tous les cas, de la chalcopryrite, bornite et chalcocite.

Dans notre contexte, ces derniers critères ne sont pas présent dans le forage. En considérant la portion de terrain qui correspond aux premières similitudes, il est plus que probable qu'un seul forage n'ait pu intercepter une zone comprenant toutes les caractéristiques énumérées ci-haut.

Le contexte n'est pas sans rappeler non plus celui de la propriété de Winston Lake, en Ontario. Les premières campagnes d'exploration consistèrent en une cartographie, une lithogéochimie ainsi que plusieurs relevés géophysiques (mag., VLF, maxmin). La géophysique fut un échec, seul la géologie et la lithogéochimie menèrent à la découverte en 1981 d'un niveau exhalatif au contact avec un filon-couche gabbroïque et d'un faible indice de 0,5 % de zinc sur 4,3 mètres. Rappelons que le forage 40349-95-9 a intercepté 0,3 % de zinc sur 9 m, dont 0,8 % sur 3,36 m. Finalement en 1988 3,1 millions de tonnes à 1,1 % de cuivre, 15,2 % de zinc, 31 g/t d'argent et 1g/t d'or étaient prouvés.

7- Conclusions et recommandations

La campagne de forage de l'hiver 1995 visait à tester quelques conducteurs maxmin et/ou PP au sein d'anomalies magnétiques ainsi qu'à intercepter certaines valeurs obtenues en surface lors de l'été 1994. Les résultats sont décevants, aucun des neuf forages réalisés ne révèle de minéralisation économique. Pourtant ils semblent tous avoir atteint leur objectif.

Le sondage 40349-95-8 n'ayant pas intercepté la zone économique espérée de l'affleurement M94-256 et étant donné le contexte géologique et structural possiblement présent à l'est de l'affleurement (voir discussion) nous recommandons:

- une cartographie de détail sur le gabbro au sud-est de l'affleurement M94-256, pour tenter de reconnaître une évolution magmatique vers un granophyre,
- une prospection et une cartographie des différentes structures présentes au sein du gabbro et si possible au contact avec les unités felsiques afin d'en établir une bonne chronologie,
- une prospection de bloc légèrement au sud des structures interceptées en axe avec l'affleurement M94-256 et le bloc M94-241.

Notre deuxième recommandation concerne la portion sud de la propriété. Les informations recueillies à l'été 1994, jumelées au forage 40349-95-9, ont démontré que la géologie du secteur est comparable à celle de la région de Bousquet-Dumagami-Doyon, en Abitibi (voir discussion).

Nous estimons donc qu'il serait intéressant de procéder à la définition de domaines lithologiques et structuraux où nous pourrions effectuer un levé lithogéochimique pour identifier des zones d'altérations. Les associations de ces zones avec les corps minéralisés massifs et disséminés deviendront des secteurs-cibles de choix. Afin d'établir une meilleure corrélation avec d'autres modèles d'altération, nous proposons aussi l'analyse lithogéochimique du trou 40349-95-9, afin d'en tirer les premières bases de comparaison. Nous suggérons une analyse des éléments majeurs qui pourra mener aux ratios suivants (entre autres):

- $Zn / Na_2O \times 10$
- $Fe_2O_3 + MgO / Na_2O + CaO + K_2O$

En regroupant ces deux secteurs voisins, la proposition de travail pour 1995 se divise en 4 étapes distinctes:

Premièrement

Analyse lithogéochimique du forage 40349-95-9, avec un intervalle maximum de 10 mètres.

Deuxièmement

Rafraîchissement des lignes 60+00E, 70+00E, 80+00E et 90+00E de la ligne de base à la ligne 9+00N. Le tout totalise 3,6 km.

Troisièmement

La coupe de 15,3 km de nouvelles lignes:


Tableau 3.

Lignes	de	à	longueur
50+00 E	LB	9+00N	900 m.
52+00 E	LB	9+00N	900 m.
54+00 E	LB	9+00N	900 m.
56+00 E	LB	9+00N	900 m.
58+00 E	LB	9+00 N	900 m.
62+00 E	LB	9+00 N	900 m.
64+00 E	LB	9+00 N	900 m.
66+00 E	LB	9+00 N	900 m.
68+00 E	LB	9+00 N	900 m.
72+00 E	LB	9+00 N	900 m.
74+00 E	LB	9+00 N	900 m.
76+00 E	LB	9+00 N	900 m.
78+00 E	LB	9+00 N	900 m.
82+00 E	LB	9+00 N	900 m.
84+00 E	LB	9+00 N	900 m.
86+00 E	LB	9+00 N	900 m.
88+00 E	LB	9+00 N	900 m.

Quatrièmement

Prospection, cartographie (lithologique et structurale) ainsi qu'échantillonnage lithogéochimique de la nouvelle grille.

Rédigé par



Michel Chapdelaine

Approuvé par



Paul Archer

le 19/05/1995

BIBLIOGRAPHIE

- BALINT, F., SIM, R. C., MORRISON, I. R., 1990. - The Winston lake massive sulphide deposit., Bibliothèque SOQUEM.
- BEESELEY, T.J., 1992. - Report on Winter 1992 Diamond Drilling Program, Eastmain Project, Harbour Lake - SOQUEM Option - Northern Quebec. Kingswood explorations 1985 Ltd.
- COLVINE, A.C., FRYON, J.A., HEATHER, K.B., MARMONT, S., SMITH P.M. & TROOP, D.G., 1988. - Archean lode gold deposits in Ontario. O.G.S., Miscellaneous Paper 139, 136 pages.
- COUTURE, J.-F., 1987. - Géologie de la partie occidentale de la bande volcanosédimentaire de la rivière Eastmain Supérieure. M.E.R.Q., MB 87-51. 101 pages.
- COUTURE, J.-F., GUHA, J., 1990. - Relative timing of emplacement of an Archean lode-gold deposit in an amphibolite terrane: the Eastmain River deposit, northern Quebec. Canadian Journal of Earth Sciences, vol. 27, 1990. pp. 1621 à 1636.
- DAIGNEAULT, R., 1991. - Déformation et cisaillement, concepts et applications. DV 89-16, MERQ, 49 pages.
- HUTCHINSON, R.W., SPENCE, C.D. and FRANKLIN, J.M., 1982. - Precambrian Sulfide Deposits., The Geological Association of Canada, Special Paper, 781 pages.
- LAPOINTE, D., 1992. - Induced Polarization, Mag-VLF & H.E.M. Surveys on the Eastmain River Property in North-Central Québec. Kingswood 1985 Ltd, 18 pages.
- MARQUIS, P., BROWN A.C., HUBERT, C. and RIGG, D.M., 1990. Progressive alteration associated with auriferous massive sulfide bodies at the Dumagami Mine, Abitibi greenstone belt, Quebec. Economic geology, Vol. 85, pp 746-764.
- ROY, C., 1988. - Géologie du secteur de l'île Bohier de la bande volcanosédimentaire de la rivière Eastmain supérieure. MB 88-16, MERQ, 107 pages.
- SIMONEAU, P., TSHIMBALANGA, S., GAUCHER, E., 1994. Levé magnétométrique-gradiométrique et EMH-MAXMIN I effectués sur la propriété Eastmain River (4034), Région du lac Leran. 9 pages.
- TOURIGNY, G., 1989. - Reconnaissance Structural Analysis of the Eastmain River Gold Deposit, Mistassini Territory, Quebec. IREM. 58 pages.

Annexe 1. Description des sondages

SOQUEM (Chibougamau)

JOURNAL DE SONDAGE

Propriété: 40349

Trou no: 4034-95-01	Zone no:	Contracteur: Forages Chibougamau Ltée	Débuté le: 17/02/1995
Canton :			Terminé le: 18/02/1995
Lot :	Rang :	Claim no: 5097382	
Niveau :	Section:	Lieu de travail:	
Coordonnées au collet	Ligne : 84+00 E	Latitude: 5823069.55N	Azimut: 325° 0' 0"
Système de référence: Gr. 1994	Station: 11+80 N	Longitude: 708358.55 E	Inclinaison: -50° 0' 0"
		Élévation: 0.00	Longueur: 120.00
Arpenté par:			
Tests de déviation	Profondeur	Inclinaison	Az Corrigé
	120.00 M	0° 1 "	-
Remarques :			
	Débit d'eau:	Bouchon:	
	Cimenté :	Dimension de la carotte: BQ	

Journal par: Guy Francoeur

Rédigé le: 19/02/1995

Trou no: 4034-95-01

DE (M)	A (M)	DESCRIPTION	Echan.	DE (M)	A (M)	Long (M)	Au ppb	Ag ppm	As ppm	Cu ppm	Zn ppm
0.00	7.09	MORT TERRAIN									
7.09	50.40	GRES ARKOSIQUE - Brun-noir, grain fin, non magnétique, massif et peu rubané. - Composé de plagioclase >65% biotite 15 à 20% quartz <15% - Bonne schistosité marquée par la biotite. - Peu ou pas minéralisé, aucune structure sédimentaire évidente. - Injecté, <10 fractures mm/m de quartz-calcite-plagioclase dont l'attitude varie de 10 à 80° AC	552074 552075	10.87 12.25	12.25 12.51	1.38 0.26	6 36	<0.1 0.2	38.0 84.0	46 91	75 340
		12.40 - 12.46 Shale graphiteux noir - Pyrite 2%, grain fin en placage et amas mm.	552076	12.51	14.06	1.55	56	<0.1	81.0	53	129
		14.05 - 14.24 - 20% de mouchetures de calcite de 2 à 3mm disséminées.	552077	14.06	15.64	1.58	<5	<0.1	31.0	42	77
		15.70 - 15.83 Épidotisation - Associée à des filons de quartz de 2cm à 85°AC - Pyrrhotine: 1 à 2%	552080 552079	15.90 37.77	18.35 39.16	2.45 1.39	6 22	<0.1 0.2	29.0 32.0	43 55	80 79
		39.16 - 39.55 Shale noir graphiteux - Conducteur. - Pyrite: 1 à 2%; en niveaux µmm concordants. - Contact supérieur avec plissement cm serré.	552080 552081	39.16 39.55	39.55 40.94	0.39 1.39	<5 <5	0.2 <0.1	25.0 10.0	63 37	218 72
		43.34 - 44.00 Schiste à biotite - Biotite >40%; peu ou pas minéralisé.	552082	40.80	50.40	9.60	<5	0.2	35.0	42	86

DE (M)	A (M)	DESCRIPTION	Echan.	DE (M)	A (M)	Long (M)	Au ppb	Ag ppm	As ppm	Cu ppm	Zn ppm
50.40	52.15	SILSTONE NOIR (Zone minéralisée) - Contact inférieur franc, ondulant: 80° AC - Fortement magnétique, plis pygmiques. - Pyrrhotine 5 à 15%; chalcopryrite ≤1%. Sous forme de bandes et amas mm semi-concordants. - 15 derniers cm carbonatisé.	552083	50.40	51.00	0.60	24	0.5	10.0	197	2240
			552084	51.00	51.73	0.73	13	0.6	<1.0	234	2080
			552085	51.73	52.15	0.42	50	0.7	8.1	787	890
52.15	120.00	UNITÉ ULTRAMAFIQUE - Gris-vert sombre, grain fin à moyen, peu magnétique. - Composé d'actinote, talc, chlorite, etc. Peu minéralisé. - Texture massive, schistosité peu développée. 52.15 - 52.62 Biotitisé, épidotisé et carbonatisé - Pyrrhotine 1 à 2%; disséminée à grain fin. - Filon de quartz cm fortement déformé. 52.62 - 53.76 Biotitisé, chloritisé - 1 à 2% de pyrrhotine disséminée à grain fin. 82.00 - 84.00 Plagioclase sous forme de lattes mm: 10%. FIN DU TROU Nombre total d'échantillons : 29 Longueur totale échantillonnée : 43.25	552086	52.15	52.62	0.47	<5	0.3	55.0	129	61
			552087	52.62	53.76	1.14	19	0.2	216.0	99	31
			552088	53.76	55.32	1.56	<5	<0.1	<1.0	73	18
			552089	55.32	56.90	1.58	<5	<0.1	<1.0	65	18
			552090	75.00	76.50	1.50	<5	<0.1	<1.0	64	31
			552091	76.50	77.65	1.15	<5	<0.1	<1.0	38	35
			552092	77.65	78.12	0.47	7	<0.1	18.0	263	16
			552093	78.12	79.50	1.38	<5	<0.1	2.1	44	31
			552094	96.00	97.50	1.50	<5	<0.1	28.0	42	23
			552095	108.00	109.50	1.50	7	<0.1	78.0	48	19
			552096	109.50	111.00	1.50					
			552097	111.00	112.50	1.50					
			552098	112.50	114.00	1.50					
			552099	114.00	115.50	1.50					
			552100	115.50	117.00	1.50					
552101	117.00	118.50	1.50								

Mesures de schistosité et de litage, sondage 40349-95-01

9m	66°AC SP
12m	80°AC So-SP
15m	75°AC SP
18m	75°AC SP
21m	72°AC SP
23,5m	66°AC SP
24m	73°AC SP
27m	64°AC SP
28m	46°AC SP
30m	82°AC SP
33m	59°AC SP
36m	80°AC So
39m	79°AC
42m	73°AC SP
45m	82°AC SP
48m	80°AC SP
51m	78°AC So-SP

SOQUEM (Chibougamau)

JOURNAL DE SONDAGE

Propriété: 40349

Trou no: 4034-95-02 Zone no: Contracteur: Forages Chibougamau Ltée Débuté le: 19/02/1995
Canton : Terminé le: 22/02/1995
Lot : Rang : Claim no: 5097371
Niveau : Section: Lieu de travail:
Coordonnées au collet Ligne : 78+00 E Latitude: 5822711.03N Azimut: 325° 0' 0"
Station: 11+35 N Longitude: 707877.48 E Inclinaison: -60° 0' 0"
Système de référence: N. Grille Elévation: 0.00 Longueur: 120.00

Arpenté par:

Tests de déviation

Profondeur	Inclinaison	Az Corrigé
120.00 M	-61° ' "	-

Remarques : Débuté à -50°, bris de casing à 100'.
Repris à -60°.

Débit d'eau:
Cimenté :

Bouchon:
Dimension de la carotte: BQ .

Journal par: Guy Francoeur

Rédigé le: 22/02/1995

Trou no: 4034-95-02

DE (M)	A (M)	DESCRIPTION	Echan.	DE (M)	A (M)	Long (M)	Au ppb	Ag ppm	As ppm	Cu ppm	Zn ppm
0.00	37.50	MORT TERRAIN									
37.50	54.60	BASALTE (schiste à chlorite, biotite ± grenat) - Rubané, vert foncé et brun, grain fin, non magnétique, forte schistosité. - Composé de chlorite, hornblende, plagioclase, biotite ± grenat. - Avec <10% de niveaux cm irréguliers à biotite. - 1 à 2% de pyrrhotine disséminée, en association aux niveaux à grenat et biotite. - <2% d'injections mm à quartz et calcite de 60 à 80° AC. Jusqu'à 60% de pyrrhotine associée aux filons de quartz ou 20% à la carbonatation. 45.12 - 45.30 - Grenat 15%; disséminé, grain fin, en amas de 2mm. - Pyrrhotine 2%; grain fin disséminée 46.50 - 54.60 - Niveaux cm riches en biotite: 5 à 25%. 48.00 - 54.60 - Grenat: 5 à 30%; grain fin, en amas ≤1 cm. - Pyrrhotine: 2%; grain fin, disséminée.	552096	37.87	39.04	1.17	7	<0.1	108.0	60	17
			552097	39.04	40.00	0.96	<5	<0.1	96.0	85	24
			552098	40.00	41.50	1.50	<5	<0.1	10.0	120	26
			552099	41.50	43.00	1.50	22	<0.1	54.0	90	17
			552100	43.00	45.00	2.00	10	<0.1	34.0	135	15
			552101	45.00	45.50	0.50	<5	<0.1	28.0	113	22
			552102	45.50	46.50	1.00	7	<0.1	31.0	138	21
			552103	46.50	48.00	1.50	25	<0.1	119.0	114	24
			552104	48.00	49.50	1.50	122	<0.1	625.0	111	28
			552105	49.50	50.21	0.71	9	<0.1	119.0	109	46
			552106	50.21	51.00	0.79	<5	<0.1	106.0	120	38
			552107	51.00	52.50	1.50	<5	<0.1	98.0	101	37
			552108	52.50	54.00	1.50	<5	<0.1	109.0	108	46
			552109	54.00	54.52	0.52	31	<0.1	12.0	78	55
552110	54.52	54.92	0.40	14	<0.1	547.0	31	78			
54.60	112.39	GRES - Brun, grain fin, non magnétique, >98% massif, peu de figure sédimentaire, peu minéralisé. - Composé de: plagioclase biotite: 20% quartz: <10% grenat: 0 à 2% séricite: 0 à 10% - Injecté: calcite-quartz <10 injections mm/m; talc-chlorite <5 plans mm/m. 55.10 - 55.26 - Bande mafique, riche en chlorite.	552111	54.92	56.07	1.15	7	<0.1	80.0	40	66

DE (M)	A (M)	DESCRIPTION	Echan.	DE (M)	A (M)	Long (M)	Au ppb	Ag ppm	As ppm	Cu ppm	Zn ppm
		(basalte?)									
		55.26 - 55.30 - Pyrrhotine: 20-25%.									
			552112	56.07	56.47	0.40	<5	<0.1	47.0	116	66
			552113	56.47	57.95	1.48	39	<0.1	159.0	40	70
			552114	57.95	59.51	1.56	83	<0.1	1040.0	43	87
		59.51 - 59.80 Mylonite									
		- En corridors mm: 68° AC									
		- Marquée par: réduction de la granulométrie, rubanement mm, magnétique, forte linéation minérale.									
		- Pyrrhotine: 5%; séricite.									
			552115	59.51	59.83	0.32	104	0.6	103.0	111	627
			552116	59.83	61.50	1.67	13	<0.1	64.0	56	96
			552117	61.50	63.00	1.50	39	0.2	233.0	50	129
			552118	63.00	64.10	1.10	52	<0.1	146.0	52	110
			552119	64.10	64.70	0.60	34	<0.1	84.0	34	82
		64.70 - 65.61 Siltstone noir									
		- Plus de 70% de l'intervalle.									
		- Pyrrhotine: 2 à 5%.									
			552120	64.70	65.61	0.91	11	<0.1	93.0	90	334
			552121	65.61	67.00	1.39	9	<0.1	46.0	49	77
			552122	71.19	72.36	1.17	<5	<0.1	16.0	38	70
			552123	72.36	73.86	1.50	10	<0.1	117.0	46	100
		72.38 - 72.46 Schiste à biotite-séricite et graphite									
		- Forme un conducteur.									
		- Pyrite 2% en placage ou niveaux mm.									
			552124	73.86	75.00	1.14	<5	<0.1	41.0	54	74
			552125	75.00	76.60	1.60	8	<0.1	245.0	46	128
			552126	76.60	78.00	1.40	<5	<0.1	42.0	40	81
			552127	84.00	85.50	1.50	<5	<0.1	6.4	34	75
			552128	85.50	86.00	0.50	<5	<0.1	8.3	40	70
			552129	86.00	87.50	1.50	6	<0.1	15.0	34	74
			552130	87.50	88.50	1.00	<5	<0.1	24.0	44	71
		92.50 - 109.00 Réduction progressive de la granulométrie.									
		- Indicateur de polarité inverse.									
			552131	94.50	96.00	1.50	<5	<0.1	16.0	46	90
			552132	96.00	96.50	0.50	<5	<0.1	20.0	52	161
			552133	96.50	98.00	1.50	<5	<0.1	20.0	51	96
			552134	98.00	99.35	1.35	<5	<0.1	29.0	55	93

Mesures de schistosité et de litage, sondage 40349-95-02

55m	73°AC
57m	50°AC
60m	73°AC
63m	60°AC
66m	66°AC Sp
69m	69°AC Sp
72m	63°AC So
75m	65°AC So-Sp
78m	72°AC Sp
81m	77°AC Sp
84m	51°AC Sp
87m	68°AC Sp
90m	56°AC So-Sp
93m	54°AC Sp
95m	73°AC Sp
105m	63°AC Sp
108m	80°AC Sp
117m	69°AC

SOQUEM (Chibougamau)

JOURNAL DE SONDAGE

Propriété: 40349

Trou no: 4034-95-03	Zone no:	Contracteur: Forages Chibougamau Ltée	Débuté le: 11/02/1995
Canton :			Terminé le: 16/02/1995
Lot :	Rang :	Claim no: 5063979	
Niveau :	Section:	Lieu de travail:	
Coordonnées au collet	Ligne : 68+00 E	Latitude: 5822259.55N	Azimut: 325° 0' 0"
Système de référence: Gr. 1994	Station: 12+30 N	Longitude: 706989.13 E	Inclinaison: -50° 0' 0"
		Élévation: 0.00	Longueur: 202.00
Arpenté par:			
Tests de déviation	Profondeur	Inclinaison	Az Corrigé
	-	-	-
Remarques :			
		Débit d'eau:	Bouchon:
		Cimenté :	Dimension de la carotte: BQ .

Journal par: Guy Francoeur

Rédigé le: 17/02/1995

Trou no: 4034-95-03

DE (M)	A (M)	DESCRIPTION	Echan.	DE (M)	A (M)	Long (M)	Au ppb	Ag ppm	As ppm	Cu ppm	Zn ppm
0.00	20.16	MORT TERRAIN									
20.16	51.87	GRES	552001	21.00	22.37	1.37	12	0.2	3.6	60	94
		- Rubané mm à cm, gris, gris-brun, gris-vert et gris-noir. Grain fin, non magnétique.	552002	22.37	22.57	0.20	<5	<0.1	1.7	3	59
		- Formé de biotite, plagioclase, grenat (2 à 20%), chlorite, et quartz. Grenats idiomorphes de 2 à 20mm. Montrent parfois rotation senestre.									
		- Injecté, 1 à 2 fractures mm/m de calcite-quartz ± épidote.									
		- Rare cisaillement cm, parallèle au rubanement et à la schistosité.									
		22.42 - 22.54 Filon de quartz fumé - Chloriteux, pyrite <1%.	552003	22.57	24.00	1.43	10	<0.1	1.4	47	82
			552004	34.98	36.35	1.37	<5	<0.1	1.9	12	89
			552005	36.35	36.73	0.38	7	<0.1	2.8	5	53
		36.38 - 36.60 Mylonite - 10 cm centraux, injectés calcite, quartz et épidote.	552006	36.73	37.50	0.77	<5	<0.1	1.1	5	63
			552007	40.50	42.00	1.50	94	0.2	383.0	27	85
			552008	42.00	43.35	1.35	77	<0.1	131.0	48	112
			552009	43.35	45.00	1.65	6	<0.1	36.0	44	76
		45.00 - 46.50 >20 fractures à calcite-pyrite/m. - Veine de quartz de 5cm. - ≈1% de pyrite sur l'ensemble.	552010	45.00	46.50	1.50	8	<0.1	31.0	45	82
			552011	46.50	47.65	1.15	6	<0.1	97.0	40	82
			552012	47.65	47.95	0.30	86	<0.1	83.0	67	109
		47.85 - 47.90 Mylonite avec filonnets μm de pyrite et pyrrhotine.	552013	47.95	49.50	1.55	6	<0.1	27.0	59	80
			552014	49.50	51.00	1.50	<5	<0.1	29.0	38	65
			552015	51.00	51.87	0.87	17	<0.1	53.0	29	65

DE (M)	A (M)	DESCRIPTION	Echan.	DE (M)	A (M)	Long (M)	Au ppb	Ag ppm	As ppm	Cu ppm	Zn ppm
51.87	57.70	VOLCANIQUE ULTRAMAFIQUE - Gris-vert, grain fin à moyen, magnétique. - Composé de talc, chlorite, actinote, calcite, biotite et pyrrhotine (<1%) - Carbonatisée, massive, schistosité localement bien marquée. - <10% de quartz cm; vestiges de filons de quartz déformés?	552016	51.87	53.12	1.25	65	<0.1	865.0	77	31
			552017	53.12	54.48	1.36	77	<0.1	1200.0	72	48
			552018	54.48	56.00	1.52	63	<0.1	2080.0	48	57
			552019	56.00	57.00	1.00	146	<0.1	1360.0	31	43
			552020	57.00	57.70	0.70	74	<0.1	1540.0	46	35
57.70	128.29	BASALTE - Vert foncé, grain fin, non magnétique. - Composé de hornblende, chlorite, plagioclase, biotite (dans les premiers mètres), grenat et calcite. - Trace de pyrrhotine sur l'ensemble, en moindre quantité, trace d'arsénopyrite et de chalcoppyrite. - >20 injections mm à cm par mètre à calcite-quartz (80°AC). 57.70 - 68.50 10% de l'intervalle formé de bandes cm riches en biotite. Pourcentage décroît vers le bas. 104.10 - 104.30 Augmentation rapide de la quantité de niveaux de schiste à biotite, occupent >50% de l'intervalle.	552021	57.70	59.20	1.50	9	<0.1	31.0	111	57
			552022	59.20	60.62	1.42	<5	<0.1	48.0	59	47
			552023	60.62	62.18	1.56	6	<0.1	62.0	80	35
			552024	62.18	63.61	1.43	8	<0.1	88.0	73	90
			552025	63.61	65.00	1.39	<5	<0.1	95.0	78	68
			552026	65.00	66.50	1.50	88	<0.1	892.0	143	133
			552027	66.50	67.00	0.50	159	0.3	2750.0	127	102
			552028	67.00	68.50	1.50	48	<0.1	701.0	80	42
			552029	68.50	70.00	1.50	5	<0.1	40.0	115	47
			552030	75.74	77.14	1.40	<5	<0.1	24.0	73	40
			552031	77.14	77.63	0.49	<5	<0.1	50.0	180	54
			552032	77.63	79.09	1.46	7	<0.1	47.0	130	39
			552033	86.58	88.00	1.42	8	<0.1	10.0	75	33
			552034	88.00	89.34	1.34	9	<0.1	20.0	116	40
			552035	89.34	91.00	1.66	76	<0.1	127.0	94	42
			552036	91.00	92.52	1.52	188	0.2	3320.0	94	38
			552037	92.52	93.97	1.45	<5	<0.1	22.0	80	37
			552038	93.97	95.45	1.48	6	<0.1	15.0	73	3
			552039	95.45	96.85	1.40	8	<0.1	21.0	104	5
			552040	96.85	98.39	1.54	<5	<0.1	26.0	140	4

DE (M)	A (M)	DESCRIPTION	Echan.	DE (M)	A (M)	Long (M)	Au ppb	Ag ppm	As ppm	Cu ppm	Zn ppm
		104.30 - 105.53 Schiste à biotite porphyroblastique - Contact supérieur franc 75° AC. - Contact inférieur ondulant 75° AC. - Gris brun, grain fin à moyen, non magnétique. - Composé de plagioclase, biotite (25%) et quartz (<10%). - 20% de porphyroblaste de plagioclase de 0,5cm, définissent une bonne linéation.									
			552041	119.00	120.20	1.20	<5	<0.1	26.0	93	3
			552042	120.20	121.00	0.80	119	<0.1	31.0	50	3
			552043	121.00	122.50	1.50	<5	<0.1	34.0	147	4
			552044	122.50	126.50	4.00	<5	<0.1	45.0	58	4
			552045	126.50	128.29	1.79	<5	<0.1	33.0	42	5
		126.92 - 128.29 Biotisation - Intensité augmente vers le contact inférieur.									
128.29	154.15	UNITÉ ULTRAMAFIQUE - Similaire précédente mais plus faiblement carbonaté, plus riche en actinote. - Massif, sauf quelques cisaillements cm à dm avec 10 à 20% de pyrrhotine et trace de chalcopryrite.	552046	128.29	129.10	0.81	97	0.2	795.0	172	3
			552047	129.10	130.50	1.40	89	<0.1	1370.0	18	10
			552048	130.50	131.28	0.78	36	<0.1	474.0	60	5
			552049	131.28	132.52	1.24	74	<0.1	763.0	18	<2
		132.52 - 132.86 Mylonite - Gris noir, grain fin, légère foliation 52°AC. - 15% de pyrrhotine, <1% de chalcopryrite. - <10% niveaux mm de schiste à biotite.	552050	132.52	132.86	0.34	18	0.7	30.0	348	9
		132.86 - 133.70 Zone de contact - 15% de niveaux mm à cm de schiste à biotite.	552051	132.86	133.70	0.84	10	<0.1	137.0	83	6
		133,54 à 133,60 Pyrrhotine 20%									
		133.70 - 135.90 Schiste à biotite porphyroblastique (similaire au précédent)	552052	133.70	135.00	1.30	<5	<0.1	26.0	6	5
			552053	135.00	135.90	0.90	9	<0.1	435.0	13	9

DE (M)	A (M)	DESCRIPTION	Echan.	DE (M)	A (M)	Long (M)	Au ppb	Ag ppm	As ppm	Cu ppm	Zn ppm
		- Contacts supérieur et inférieur francs: 65°AC.									
		135.90 - 136.50 Zone minéralisée - Noir, grain fin, faible foliation. - Injecté de calcite. - 15 à 20% de pyrrhotine et trace de chalcopryrite en niveaux irréguliers concordants 52°AC (conducteurs).	552054	135.90	136.50	0.60	65	0.9	935.0	411	40
		136.50 - 137.58 Schiste à biotite porphyroblastique	552055	136.50	137.58	1.08	<5	0.2	60.0	15	8
		137.58 - 137.92 - Biotite 10%.	552056	137.58	137.92	0.34	15	0.2	202.0	191	9
		- Mouchetures de pyrrhotine 10%.	552057	137.92	139.40	1.48	77	<0.1	1490.0	8	2
			552058	139.40	141.00	1.60	84	<0.1	1540.0	14	2
			552059	141.00	142.20	1.20	20	<0.1	694.0	25	2
		142.20 - 143.13 Schiste à biotite: 15%.	552060	142.20	143.13	0.93	16	<0.1	377.0	72	7
		143.13 - 144.00 Schiste à biotite porphyroblastique - Cisailé et épidotisé de 143,66 à 143,71.	552061	143.13	144.00	0.87	<5	<0.1	6.1	16	7
			552062	144.00	145.50	1.50	44	<0.1	2610.0	11	2
			552063	145.50	147.00	1.50	32	<0.1	1120.0	18	3
			552064	147.00	148.50	1.50	66	<0.1	2210.0	11	2
			552065	148.50	149.00	0.50	45	<0.1	2750.0	53	7
		149.00 - 149.60 15% de niveaux mm à cm de schiste à biotite. - Pyrrhotine: 5%.	552066	149.00	149.60	0.60	20	0.4	115.0	156	7
		149.60 - 150.06 Schiste à biotite porphyroblastique	552067	149.60	150.06	0.46	<5	<0.1	49.0	18	8
		150.06 - 150.24 Zone carbonatisée - Pyrrhotine: 15 à 20% - Grenat: 2%	552068	150.06	150.24	0.18	10	0.5	6.3	189	13
			552069	150.24	151.12	0.88	33	0.2	3360.0	104	5

Mesures de schistosité et de litage, sondage 40349-95-03

21m	80°AC So-Sp	143m	72°AC
24m	75°AC So-Sp	147m	66°AC
27m	85°AC So-Sp	150m	72°AC
30m	80°AC So-Sp	153m	61°AC
33m	82°AC So-Sp	156m	84°AC
36m	68°AC So-Sp	159m	77°AC
39m	85°AC So-Sp	162m	68°AC
42m	90°AC So-Sp	165m	75°AC
45m	70°AC So-Sp	168m	81°AC
48m	67°AC So-Sp	171m	75°AC
51m	67°AC	174m	76°AC
60m	80°AC Sp	177m	73°AC
63m	68°AC Sp	180m	80°AC
66m	75°AC Sp	183m	85°AC
69m	80°AC	186m	81°AC
72m	72°AC	189m	86°AC
75m	76°AC	192m	76°AC
78m	75°AC	195m	74°AC
81m	82°AC	198m	78°AC
84m	75°AC	201m	78°AC
87m	79°AC		
90m	77°AC		
93m	74°AC		
96m	75°AC		
99m	70°AC		
102m	85°AC		
105m	72°AC		
108m	78°AC		
114m	72°AC		
117m	75°AC		
120m	71°AC		
123m	70°AC		
126m	68°AC		
135m	60°AC		
136m	51°AC		

SOQUEM (Chibougamau)

JOURNAL DE SONDAGE

Propriété: 40349

Trou no: 4034-95-04 Zone no: Contracteur: Forages Chibougamau Ltée Débuté le: 22/02/1995
Canton : Rang : Claim no: 5063998 Terminé le: 24/02/1995
Lot : Niveau : Section: Lieu de travail:
Coordonnées au collet Ligne : 38+00 E Latitude: 5820281.87N Azimut: 325° 0' 0"
Système de référence: Gr. 1992 Station: 1+10 S Longitude: 704664.40 E Inclinaison: -50° 0' 0"
Elévation: 0.00 Longueur: 231.00

Arpenté par:

Tests de déviation

Profondeur	Inclinaison	Az Corrigé
231.00 M	-50° ' "	-

Remarques :

Débit d'eau:
Cimenté :

Bouchon:
Dimension de la carotte: BQ

Journal par: Guy Francoeur

Rédigé le: 24/02/1995

Trou no: 4034-95-04

DE (M)	A (M)	DESCRIPTION	Echan.	DE (M)	A (M)	Long (M)	Au ppb	Ag ppm	As ppm	Cu ppm	Zn ppm
0.00	6.25	MORT TERRAIN									
6.25	38.51	GRES à CAILLOUX (ou tuf à lapilli) - Rubané irrégulier, grain fin, non-magnétique. - Matrice: 40 à 60%, gréseuse, gris-brun. Composé de biotite, plagioclase ± grenat. - Fragments: 20 à 60%, alongés. Mafique (0 à 40%): vert foncé, grain fin. Formé de hornblende, chlorite et plagioclase. Contours flous, plus sous forme de niv eaux cm que fragmentaire. Felsique (0 à 40%): gris-vert, aphanitique, à plagioclase-quartz dominants. Sub-arrondis à sub-anguleux. Non jointifs. - Grenat: 0 à 15%, idiomorphes; en amas mm à cm au contact des niveaux mafiques. - Peu minéralisé. - 1 à 2 injections mm/m de calcite et quartz.	552157	13.50	15.00	1.50	6	<0.1	<1.0	28	72
			552158	21.00	22.50	1.50	7	<0.1	<1.0	28	65
			552159	27.27	28.11	0.84	<5	<0.1	25.0	65	77
			552166	28.81	29.66	0.85	<5	<0.1	11.0	54	91
			552165	29.66	30.00	0.34	<5	0.2	24.0	73	91
			552160	30.00	31.50	1.50	<5	<0.1	11.0	35	86
		31.50 - 32.60 - Pyrrhotine: 2%, grain fin, en filonnets mm parrallèles à Sp.	552161	31.50	32.60	1.10	<5	<0.1	<1.0	60	132
			552162	32.60	33.45	0.85	<5	<0.1	<1.0	53	98
			552163	33.45	34.95	1.50	<5	<0.1	3.0	40	77
			552164	34.95	36.39	1.44	<5	<0.1	4.4	53	82
			552167	36.39	37.08	0.69	<5	<0.1	2.2	59	85
		37.08 - 37.50 - Intervalle carbonatisé à 40% - Pyrrhotine 5%, chalcopryrite <1%, en niveaux ou amas étirés mm.	552168	37.08	37.50	0.42	16	0.2	1.6	651	67
			552169	37.50	38.51	1.01	<5	<0.1	5.1	54	63
38.51	59.10	SCHISTE à ACTINOTE - Contact supérieur broyé, inférieur 80°AC. - Gris-vert, grain fin à moyen, non-magnétique. - Composé d'actinote, talc, chlorite ± biotite. - Non carbonaté (sauf filonnets). 43.10 - 43.60 - Intervalle formé de 50% de filonnets mm à cm de calcite-quartz.	552170	38.51	40.01	1.50	45	<0.1	198.0	15	31
			552171	40.01	41.56	1.55	26	<0.1	99.0	44	32
			552172	41.56	43.06	1.50	33	<0.1	203.0	45	30
			552173	43.06	44.64	1.58	77	<0.1	525.0	81	32
			552174	44.64	46.00	1.36	10	<0.1	68.0	98	34

DE (M)	A (M)	DESCRIPTION	Echan.	DE (M)	A (M)	Long (M)	Au ppb	Ag ppm	As ppm	Cu ppm	Zn ppm
		121.00 - 127.32	552201	121.37	121.86	0.49	10	0.3	<1.0	92	130
		- Filons de quartz et calcite: 2%	552202	121.86	123.00	1.14	9	<0.1	16.0	64	113
		- Avec pyrrhotine et chalcopryrite aux	552203	123.00	124.50	1.50	10	<0.1	24.0	53	73
		épontes: <1% de l'intervalle.	552204	124.50	126.00	1.50	<5	<0.1	11.0	39	79
			552205	126.00	127.32	1.32	<5	0.2	38.0	46	99
		127.32 - 130.19	552206	127.32	128.75	1.43	<5	<0.1	2.6	27	65
		Bande silicifiée et épidotisée: >60%	552207	128.75	130.19	1.44	7	<0.1	90.0	51	93
		- Vert pâle, grain fin à moyen,	552208	130.19	131.64	1.45	<5	<0.1	8.0	64	107
		localement magnétique.									
		- Composé de plagioclase									
		quartz: 20% (étiré)									
		épidote (altération)									
		biotite: 2 à 10%									
		calcite: 1 à 10%									
		pyrrhotine: 1 à 5%									
		- Légèrement rubanée, bonne schisto-									
		sitée.									
		148.00 - 157.04	552209	154.50	156.00	1.50	6	<0.1	8.3	48	76
		Grès plus grossier	552210	156.00	157.13	1.13	<5	<0.1	<1.0	36	60
		157.13 - 157.36	552211	157.13	157.36	0.23	7	0.2	1.4	184	419
		Injections de quartz: >90%									
		- Pyrrhotine: 5 à 10%; conducteurs.									
157.36	169.55	SCHISTE à ACTINOTE	552212	157.36	158.36	1.00	20	<0.1	599.0	26	57
		- Fortement chloritisé et carbonatisé mais non	552213	158.36	159.00	0.64	13	<0.1	428.0	88	24
		minéralisé.	552214	159.00	160.50	1.50	15	<0.1	769.0	86	52
			552495	160.50	162.00	1.50	27	<0.1	242.0	28	30
			552496	162.00	163.50	1.50	40	<0.1	515.0	66	30
			552497	163.50	165.00	1.50	52	<0.1	623.0	25	29
			552498	165.00	166.50	1.50	36	<0.1	691.0	22	23
			552215	166.50	168.00	1.50	20	<0.1	658.0	19	31
			552216	168.00	169.55	1.55	26	<0.1	645.0	11	42
169.55	197.51	BASALTE	552217	169.55	171.00	1.45	<5	<0.1	13.0	102	39
		- Vert foncé, grain fin, non magnétique. Massif à	552218	171.00	172.50	1.50	8	<0.1	31.0	97	39
		rubané, aphyrique.	552219	176.40	178.02	1.62	8	<0.1	15.0	93	39
		- Composé de hornblende, plagioclase, chlorite ±	552220	178.02	179.64	1.62	<5	<0.1	4.0	134	37
		grenat (associés à calcite et chlorite).	552221	179.64	181.06	1.42	<5	<0.1	4.6	71	34
		- Injecté par plus de 20 filonnets/m de calcite-	552222	181.06	181.51	0.45	<5	<0.1	5.5	85	33
		quartz ± pyrrhotine (<1% sur l'ensemble).	552223	181.51	183.00	1.49	<5	<0.1	3.5	70	36

DE (M)	A (M)	DESCRIPTION	Echan.	DE (M)	A (M)	Long (M)	Au ppb	Ag ppm	As ppm	Cu ppm	Zn ppm
197.51	231.00	GRES - Non-ruban�, non-min�ralis�. FIN DU TROU Nombre total d'�chantillons : 77 Longueur totale �chantillonn�e : 97.75	552224	190.27	191.77	1.50	<5	<0.1	33.0	88	32
			552225	191.77	192.25	0.48	<5	<0.1	13.0	155	32
			552226	192.25	193.75	1.50	8	<0.1	39.0	68	35
			552227	226.50	228.00	1.50	13	<0.1	<1.0	41	62
			552228	228.00	229.50	1.50					
			552229	229.50	231.00	1.50					
			552230	231.00	232.50	1.50					

Mesures de schistosité et de litage, sondage 40349-95-04

9m	76°AC So-Sp	117m	63°AC So-Sp
12m	77°AC So-Sp	120m	46°AC So
15m	85°AC So-Sp	123m	57°AC So
18m	81°AC So-Sp	126m	72°AC
21m	86°AC So-Sp	129m	87°AC So-Sp
24m	77°AC So-Sp	135m	82°AC So-Sp
27m	80°AC So-Sp	138m	75°AC So-Sp
30m	65°AC So-Sp	141m	77°AC So
33m	68°AC So-Sp	144m	71°AC
36m	75°AC So-Sp	147m	60°AC Sp
40,5m	63°AC Sp	150m	61°AC So-Sp
42m	65°AC Sp	153m	76°AC So
45m	52°AC Sp	156m	73°AC So-Sp
48m	54°AC Sp	165m	66°AC Sp
51m	57°AC Sp	168m	70°AC Sp
54m	76°AC Sp	171m	80°AC Sp
57m	69°AC Sp	174m	78°AC Sp
60m	70°AC So-Sp	177m	78°AC
63m	75°AC So-Sp	180m	79°AC
66m	60°AC So-Sp	183m	82°AC
69m	73°AC So-Sp	186m	80°AC
72m	73°AC So-Sp	189m	79°AC
75m	76°AC Sp	192m	72°AC
78m	66°AC Sp	195m	79°AC
81m	83°AC	198m	80°AC
84m	83°AC	201m	65°AC
88m	66°AC	204m	75°AC
90m	77°AC		
93m	82°AC So		
96,5m	72°AC Sp-So		
99m	81°AC Sp-So		
102m	Plissé (jusqu'à 121)		
108m	75C So		
111m	75°AC So		
114m	73°AC So-Sp		

SOQUEM (Chibougamau)

JOURNAL DE SONDAGE

Propriété: 40349

Trou no: 4034-95-05 Zone no: Contracteur: Forages Chibougamau Ltée Débuté le: 24/02/1995
Canton : Terminé le: 26/02/1995
Lot : Rang : Claim no: 5072003
Niveau : Section: Lieu de travail:
Coordonnées au collet Ligne : 32+00 E Latitude: 5819917.20N Azimut: 325° 0' 0"
Station: 1+60 S Longitude: 704201.24 E Inclinaison: -51° 0' 0"
Système de référence: Gr. 1992 Elévation: 0.00 Longueur: 183.00

Arpenté par:

Tests de déviation

Profondeur	Inclinaison	Az Corrigé
183.00 M	-50° 0' 0"	-

Remarques :

Débit d'eau:
Cimenté :

Bouchon:
Dimension de la carotte: BQ

Journal par: Guy Francoeur

Rédigé le: 27/02/1995

Trou no: 4034-95-05

DE (M)	A (M)	DESCRIPTION	Echan.	DE (M)	A (M)	Long (M)	Au ppb	Ag ppm	As ppm	Cu ppm	Zn ppm
0.00	13.50	MORT TERRAIN									
13.50	18.40	GRES CONGLOMÉRATIQUE FIN - Grain très fin, non-magnétique, rubané mm à cm. - Contact inférieur brusque: 75°AC - 50 à 90% de matrice, vert-chamois, massive; à plagioclase, épidote et séricite. Plan à séricite marque la schistosité. - 10 à 50% de cailloux étirés, gris-noir, à quartz-biotite.	552228	17.07	18.40	1.33	<5	<0.1	2.1	17	53
18.40	56.60	GRES (paraschiste) à BIOTITE - Rubané mm à cm brun-noir à gris foncé, par <20% de cailloux étirés. - 20 à 100% de matrice: brun-noir, grain fin, non magnétique. Composé de plagioclase, biotite (5 à 25%) ± grenat almandin ± pyrrhotine. - Grenat 0 à 20% idiomorphe, en amas <cm. - Cailloux mafiques: 0 à 15%; à chlorite et plagioclase. Contour floue. - Cailloux felsiques: 0 à 80%; à quartz et plagioclase.	552229	18.40	19.90	1.50	7	<0.1	3.1	24	114
		20.36 - 21.00 Échantillon manquant.	552230	21.00	22.50	1.50	<5	<0.1	2.8	31	91
		22.50 - 33.02 - Injections mm à dm à calcite, quartz ± épidote: >5/m									
		22.50 - 43.50 Aspect silicifié	552231	22.50	24.00	1.50	<5	<0.1	4.1	36	100
		- Grain très fin, trace de pyrrhotine	552232	24.00	25.50	1.50	<5	<0.1	3.8	34	81
			552233	25.50	27.00	1.50	<5	<0.1	1.6	42	89

DE (M)	A (M)	DESCRIPTION	Echan.	DE (M)	A (M)	Long (M)	Au ppb	Ag ppm	As ppm	Cu ppm	Zn ppm
			552234	27.00	28.50	1.50	<5	<0.1	1.6	56	63
			552235	28.50	30.00	1.50	<5	0.2	2.4	77	80
			552236	30.00	31.14	1.14	<5	<0.1	2.4	40	64
			552237	31.14	31.50	0.36	<5	0.3	1.8	224	126
			552238	31.50	33.00	1.50	<5	<0.1	1.1	60	70
			552239	33.00	34.50	1.50	<5	<0.1	1.1	61	56
			552240	34.50	36.00	1.50	<5	<0.1	1.4	60	45
			552241	36.00	37.50	1.50	88	<0.1	1.8	64	53
			552242	37.50	39.00	1.50	<5	<0.1	<1.0	57	48
			552243	39.00	40.50	1.50	<5	<0.1	<1.0	55	54
			552244	40.50	42.00	1.50	<5	<0.1	1.6	58	58
			552245	42.00	43.50	1.50	12	<0.1	<1.0	38	61
			552246	43.50	45.00	1.50	14	<0.1	2.4	42	90
			552247	45.00	46.29	1.29	301	0.2	10.0	46	80
		45.13 - 45.68 Cailloux felsiques: 60 à 80%	552248	46.29	47.65	1.36	657	0.2	9.0	57	86
		46.65 - 47.47 Cailloux felsiques									
		47.65 - 48.00 Mylonite (possible...) - Forte schistosité, brun-chamois, grain plus fin, séricitisé.	552249	47.65	48.00	0.35	<5	<0.1	4.0	11	35
			552250	48.00	49.50	1.50	147	<0.1	7.5	39	73
			552251	49.50	51.00	1.50	191	<0.1	44.0	49	94
		50.00 - 56.60 Niveaux mm de schiste à biotite: 10 à 50%. - Niveaux forment un rubanement régulier. Schistosité intense. - Grenat 1 à 20%.									
		51.00 - 56.60 Pyrrhotine: ≤2% - Amas et niveaux concordants mm. - Conducteurs.	552252	51.00	52.50	1.50	492	0.2	36.0	48	83
			552253	52.50	54.00	1.50	36	0.3	165.0	58	77
		53.69 - 53.94 Schiste à actinote	552254	54.00	55.50	1.50	640	<0.1	345.0	77	61
			552255	55.50	56.60	1.10	166	<0.1	335.0	78	90

DE (M)	A (M)	DESCRIPTION	Echan.	DE (M)	A (M)	Long (M)	Au ppb	Ag ppm	As ppm	Cu ppm	Zn ppm
		68.15 - 68.55 Zone de contact	552268	68.15	68.55	0.40	67	0.6	105.0	98	123
		- Carbonatisée, biotite 10%.	552269	68.55	69.23	0.68	244	2.9	36.0	597	2090
		- Pyrrhotine 2 à 5%, grain fin, dis- séminée.									
		68.58 - 68.80 Siltstone noir									
		- Pyrrhotine 20%, pyrite 2%; grain fin disséminées et amas mm à cm.									
		- Excellent conducteur.									
		- Calcite 20%, concentrée en niveaux cm et disséminée.									
		68.80 - 69.04 Veine de quartz fumée									
		- Contact supérieur 70°AC, inférieur 50°AC.									
		- Pyrrhotine 15%, chalcopryrite <1%.									
		69.04 - 72.45	552270	69.23	70.50	1.27	10	0.2	33.0	42	81
		"Aspect silicifié"	552271	70.50	71.56	1.06	14	0.2	18.0	42	77
		- Pyrrhotine trace à 5% (moy.<1%); disséminée et en amas.									
		69,10 à 69,16 Bande de 5mm de pyrrho- tine massive; 21° AC.									
		71.16 - 71.22 Silicifié (Mylonite?)									
		- Pyrrhotine 10%; amas et filonnets mm.	552272	71.56	72.07	0.51	18	0.3	5.2	31	56
			552273	72.07	73.50	1.43	15	<0.1	11.0	53	85
		72.45 - 95.50	552274	73.50	75.00	1.50	<5	0.2	11.0	68	86
		- Grenat almandin: 2 à 15%;	552500	75.00	77.00	2.00	8	0.2	8.4	59	126
		andradite: 2 à 20%.	552275	91.50	93.00	1.50	19	<0.1	8.3	65	80
		- Idiomorphes, en amas mm.	552276	93.00	94.50	1.50	5	0.2	25.0	55	112
		93.50 - 95.50	552277	94.50	95.50	1.00	6	<0.1	26.0	79	106
		- Pyrite: <1%; filonnets mm, <20° AC.									
95.50	99.90	SCHISTE à ACTINOTE	552278	95.50	96.00	0.50	40	<0.1	528.0	12	130
		- Fortement carbonatisé.	552279	96.00	97.50	1.50	16	<0.1	314.0	37	48

DE (M)	A (M)	DESCRIPTION	Echan.	DE (M)	A (M)	Long (M)	Au ppb	Ag ppm	As ppm	Cu ppm	Zn ppm
99.90	117.45	INTRUSIF QUARTZO-FELDSPATHIQUE - Gris clair, grain fin à moyen, non-magnétique. - Composé quartz (40 à 70%), plagioclase (10 à 40%), biotite (1 à 5%), séricite ± arsénopyrite ± pyrite ± épidote. - Bonne scistosité, marquée par les micas. - Bonne schistosité, marquée par les micas.	552280	97.50	99.00	1.50	13	<0.1	414.0	51	47
			552281	99.00	99.90	0.90	15	<0.1	420.0	83	54
			552282	99.90	100.63	0.73	14	<0.1	4.0	16	68
			552283	100.63	102.00	1.37	22	<0.1	7.1	10	60
			552284	102.00	103.50	1.50	55	<0.1	25.0	15	73
			552285	103.50	105.30	1.80	23	<0.1	133.0	25	76
			552286	105.30	106.32	1.02	21	<0.1	66.0	11	42
			552287	106.32	108.00	1.68	8	0.2	32.0	23	124
			552288	108.00	109.50	1.50	11	<0.1	116.0	8	45
			552289	109.50	110.71	1.21	6	<0.1	68.0	7	45
117.45	120.65	GRES FIN - Grain fin, homogène, non-minéralisé.	552296	117.45	118.95	1.50	23	<0.1	9.2	49	93
			552297	118.95	120.65	1.70	<5	<0.1	3.9	61	71
			552298	120.65	122.20	1.55	<5	<0.1	149.0	50	60
			552299	122.20	122.46	0.26	<5	<0.1	15.0	198	1429
			552300	122.46	123.98	1.52	9	0.2	72.0	68	70
			552293	114.00	115.50	1.50	<5	<0.1	3.5	23	57
			552294	115.50	116.64	1.14	<5	<0.1	28.0	24	45
			552295	116.64	117.45	0.81	14	<0.1	24.0	13	45
			552291	111.77	112.45	0.68	22	<0.1	685.0	28	12
			552292	112.45	114.00	1.55	16	<0.1	406.0	58	23
120.65	122.20	BASALTE CHLORITISÉ - Peu ou pas minéralisé, forte schistosité.	552290	110.71	111.77	1.06	<5	<0.1	4.7	14	42
			552291	111.77	112.45	0.68	22	<0.1	685.0	28	12
			552292	112.45	114.00	1.55	16	<0.1	406.0	58	23
			552293	114.00	115.50	1.50	<5	<0.1	3.5	23	57
			552294	115.50	116.64	1.14	<5	<0.1	28.0	24	45
			552295	116.64	117.45	0.81	14	<0.1	24.0	13	45
			552296	117.45	118.95	1.50	23	<0.1	9.2	49	93
			552297	118.95	120.65	1.70	<5	<0.1	3.9	61	71
			552298	120.65	122.20	1.55	<5	<0.1	149.0	50	60
			552299	122.20	122.46	0.26	<5	<0.1	15.0	198	1429
122.46	123.98	Échantillon broyé, zone de faille, peu de récupération. - Basalte chloritisé avec trace de pyrite.	552290	110.71	111.77	1.06	<5	<0.1	4.7	14	42
			552291	111.77	112.45	0.68	22	<0.1	685.0	28	12
122.46	123.98	Échantillon broyé, zone de faille, peu de récupération. - Basalte chloritisé avec trace de pyrite.	552292	112.45	114.00	1.55	16	<0.1	406.0	58	23
			552293	114.00	115.50	1.50	<5	<0.1	3.5	23	57
122.46	123.98	Échantillon broyé, zone de faille, peu de récupération. - Basalte chloritisé avec trace de pyrite.	552294	115.50	116.64	1.14	<5	<0.1	28.0	24	45
			552295	116.64	117.45	0.81	14	<0.1	24.0	13	45
122.46	123.98	Échantillon broyé, zone de faille, peu de récupération. - Basalte chloritisé avec trace de pyrite.	552296	117.45	118.95	1.50	23	<0.1	9.2	49	93
			552297	118.95	120.65	1.70	<5	<0.1	3.9	61	71
122.46	123.98	Échantillon broyé, zone de faille, peu de récupération. - Basalte chloritisé avec trace de pyrite.	552298	120.65	122.20	1.55	<5	<0.1	149.0	50	60
			552299	122.20	122.46	0.26	<5	<0.1	15.0	198	1429
122.46	123.98	Échantillon broyé, zone de faille, peu de récupération. - Basalte chloritisé avec trace de pyrite.	552300	122.46	123.98	1.52	9	0.2	72.0	68	70
			552300	122.46	123.98	1.52	9	0.2	72.0	68	70

Mesures de schistosité et de litage, sondage 40349-95-05

15m	77°AC So-Sp	123m	76°AC Sp
18m	72°AC So-Sp	126m	74°AC Sp
21m	73°AC So-Sp	129m	72°AC Sp
24m	72°AC Sp	132m	75°AC
27m	69°AC Sp	135m	54°AC Sp
30m	80°AC Sp	138m	82°AC Sp
33m	72°AC Sp	141m	77°AC Sp
36m	73°AC Sp	144m	50°AC
39m	77°AC Sp	145,5m	21°AC
42m	82°AC So	147m	80°AC Sp
45m	80°AC Sp	150m	87°AC Sp
48m	80°AC Sp	153m	80°AC Sp
51m	79°AC Sp	156m	
54m	79°AC Sp	159m	79°AC So
57m	74°AC Sp	162m	84°AC Sp
60m	70°AC Sp		
63m	72°AC Sp		
66m	76°AC Sp		
69m			
72m	74°AC Sp		
75m	78°AC So-Sp		
78m	71°AC So-Sp		
81m	60°AC		
84m	74°AC So		
87m	73°AC So Sp		
90m	78°AC So Sp		
93m	83°AC		
96m			
99m			
102m	84° Sp		
105m	73° Sp		
108m	76°Sp		
114m	82°AC Sp		
117m	79°AC Sp		
120m	62°AC		

SOQUEM (Chibougamau)

JOURNAL DE SONDAGE

Propriété: 40349

Trou no: 4034-95-06 Zone no: Contracteur: Forages Chibougamau Ltée Débuté le: 26/02/1995
Canton : Rang : Claim no: 5072003 Terminé le: 28/02/1995
Lot : Niveau : Section: Lieu de travail:
Coordonnées au collet Ligne : 30+00 E Latitude: 5819797.36N Azimut: 325° 0' 0"
Station: 1+75 S Longitude: 704047.35 E Inclinaison: -50° 0' 0"
Système de référence: Gr. 1992 Elévation: 0.00 Longueur: 168.00

Arpenté par:

Tests de déviation

Profondeur	Inclinaison	Az Corrigé

Remarques :

Débit d'eau:
Cimenté :

Bouchon:
Dimension de la carotte: BQ

Journal par: Guy Francoeur

Rédigé le: 07/03/1995

Trou no: 4034-95-06

DE (M)	A (M)	DESCRIPTION	Echan.	DE (M)	A (M)	Long (M)	Au ppb	Ag ppm	As ppm	Cu ppm	Zn ppm
0.00	3.45										
		MORT TERRAIN									
3.45	27.93	SCHISTE à QUARTZ-SÉRICITE - Rubané irrégulier mm à cm, gris chamois et gris foncé. Grain fin, non magnétique. - Formé de: quartz, plagioclase, séricite ± biotite ± grenat. ≤1% de pyrrhotine disséminée et trace de tourmaline. - Schistosité marquée par niveaux à séricite. - 0 à 10% de fragments ou cailloux siliceux, cm, gris, étiré. - <2% de l'intervalle épidotisé.									
		10.00 - 13.00 - Intervalle fracturé à 40%	552304	12.00	13.50	1.50	<5	0.2	5.9	143	70
			552305	13.50	15.00	1.50	<5	<0.1	4.6	18	23
			552306	15.00	16.50	1.50	<5	<0.1	1.5	15	35
			552307	19.50	21.00	1.50	<5	<0.1	2.5	11	34
			552308	21.00	21.50	0.50	<5	<0.1	1.3	9	26
			552309	21.50	23.00	1.50	<5	<0.1	1.6	26	55

DE (M)	A (M)	DESCRIPTION	Echan.	DE (M)	A (M)	Long (M)	Au ppb	Ag ppm	As ppm	Cu ppm	Zn ppm
27.93	54.36	22.50 - 24.84 - Aspect plus mélanocrate, plus riche en biotite. - Pyrrhotine et pyrite: 1%; grain fin disséminées. PROTOMYLONITE (Grès conglom. à biotite) - Rubané (faible foliation): brun, gris-noir, vert foncé. Éclat siliceux, grain fin. Composition similaire au grès conglom. à biotite. - Grenat ≤1%, pyrite ≤ 1%. 43.50 - 43.80 Cailloux felsiques: 40 à 60%. 44.63 - 49.84 - Foliation mieux marquée (max. de la déformation). 45.00 - 46.50 Cailloux felsiques: 40 à 60%. 47.51 - 48.00 - Intervalle plissé, S0 parallèle à AC. 49.84 - 50.00 Gneiss à biotite et chlorite - Pyrite 2%, chalcopyrite <1%. 50.00 - 51.11 Schiste à actinote - Fortement carbonatisé.	552310	23.00	24.50	1.50	<5	<0.1	2.2	35	104
			552311	24.50	26.00	1.50	<5	<0.1	1.2	10	35
			552312	26.00	27.50	1.50	<5	<0.1	2.0	6	7
			552313	27.50	28.50	1.00	<5	<0.1	2.1	30	27
			552314	28.50	30.00	1.50	<5	<0.1	1.9	18	34
			552315	30.00	31.50	1.50	<5	<0.1	3.9	37	49
			552316	31.50	33.00	1.50	<5	<0.1	12.0	38	61
			552317	33.00	34.50	1.50	<5	<0.1	<1.0	20	52
			552318	34.50	36.00	1.50	<5	<0.1	1.5	25	70
			552319	36.00	37.50	1.50	<5	<0.1	1.5	48	69
			552320	37.50	39.00	1.50	<5	<0.1	<1.0	22	110
			552321	39.00	40.50	1.50	<5	<0.1	<1.0	15	86
			552322	40.50	42.00	1.50	<5	<0.1	1.7	24	115
			552323	42.00	43.50	1.50	<5	<0.1	4.2	42	73
			552324	43.50	45.00	1.50	<5	<0.1	1.7	35	72
			552325	45.00	46.50	1.50	<5	<0.1	<1.0	34	89
			552326	46.50	48.00	1.50	56	<0.1	2.3	25	69
			552327	48.00	49.24	1.24	6	<0.1	3.4	34	67
			552328	49.24	49.73	0.49	9	<0.1	45.0	28	58
			552329	49.73	50.00	0.27	<5	<0.1	14.0	37	51
552330	50.00	51.11	1.11	98	0.2	826.0	26	59			

DE (M)	A (M)	DESCRIPTION	Echan.	DE (M)	A (M)	Long (M)	Au ppb	Ag ppm	As ppm	Cu ppm	Zn ppm
		51.11 - 51.73 Grès fin - Gris, grain fin, aspect silicifié, massif, magnétique. - Pyrite et chalcopryrite ≤1%; disséminées et en filonnets.	552331	51.11	51.73	0.62	213	0.3	394.0	100	295
		51.18 - 51.30 Siltstone noir (ou mylonite?) - Pyrrhotine 5%, pyrite 5%, chalcopryrite <1%. En niveaux mm.									
		51.73 - 53.24 Schiste à actinote - Biotitisé, carbonatisé, faiblement magnétique. - Pyrrhotine ≤1%.	552332	51.73	53.24	1.51	202	<0.1	583.0	46	101
			552333	53.24	54.36	1.12	225	<0.1	513.0	68	68
54.36	76.82	GRES à BIOTITE - Brun-roux, grain fin, non-magnétique, rubané mm à cm, bonne schistosité. - A plagioclase, biotite, quartz (peu) ± grenat almandin (2 à 10%) et andradite (5 à 20%). - 2% cailloux felsiques <cm. - <2% injecté mm à cm par quartz-plagioclase ou calcite-quartz ± épidote.	552334	54.36	55.50	1.14	9	<0.1	20.0	61	84
			552335	55.50	56.94	1.44	<5	<0.1	14.0	69	61
		56.00 - 56.10 Plissé.	552336	56.94	57.50	0.56	<5	<0.1	20.0	51	61
			552337	57.50	59.00	1.50	<5	<0.1	11.0	73	56
			552338	75.00	76.00	1.00	<5	<0.1	9.0	65	62
			552339	76.00	76.82	0.82	<5	<0.1	14.0	77	96
76.82	95.07	INTRUSIF FELSIQUE QUARTZO-FELDSPATHIQUE - Gris-vert, grain fin à moyen, non-magnétique. - Formé de quartz (30 à 60%), plagioclase (30 à 60%), séricite et biotite. Pyrrhotine et pyrite < 1%, disséminées. - Bonne schistosité marquée par les micas. - <20% mylonitisé, localement épidotisé. - <20% de niveaux mafiques dm.	552340	76.82	78.00	1.18	<5	<0.1	15.0	33	51

DE (M)	A (M)	DESCRIPTION	Echan.	DE (M)	A (M)	Long (M)	Au ppb	Ag ppm	As ppm	Cu ppm	Zn ppm
		77.57 - 77.88 Intervalle mafique (basalte) - Pyrite et pyrrhotine 2%; grain fin disséminées.									
		77.88 - 82.93 Protomylonite	552341	78.00	79.50	1.50	<5	<0.1	5.4	20	74
		- Marquée par diminution de la granulo- métrie, étirement des grains de quartz, faible foliation.	552342	79.50	81.00	1.50	<5	<0.1	5.9	21	42
			552343	81.00	82.50	1.50	<5	<0.1	21.0	38	49
			552344	82.50	82.93	0.43	<5	<0.1	208.0	78	48
		82.93 - 83.17 Schiste à actinote - Carbonatisé, faiblement magnétique.	552345	82.93	85.00	2.07	24	0.6	258.0	79	82
		83.17 - 83.53 Siltstone noir - Pyrite et pyrrhotine: 2 à 5%. En niv- eaux mm.									
			552346	85.00	85.87	0.87	<5	<0.1	5.6	14	43
		85.87 - 87.87 Intervalle mafique (basalte) - Biotite 5%.	552347	85.87	87.87	2.00	<5	<0.1	35.0	20	26
			552348	87.87	89.06	1.19	<5	<0.1	3.9	9	163
			552349	89.06	90.00	0.94	<5	<0.1	3.8	29	58
			552350	90.00	91.32	1.32	19	<0.1	4.4	38	44
		91.32 - 92.82 Schiste à actinote - Peu carbonaté, non magnétique. - Biotite <5%, pyrrhotine <1%.	552351	91.32	92.82	1.50	33	<0.1	660.0	70	30
			552352	92.82	94.14	1.32	19	<0.1	5.3	13	37
		93.62 - 94.14 Mylonitisé et plissé - Pyrite 1 à 2%. - Injections mm d'épidote.									
		94.14 - 94.48 Filon de quartz - Contacts à 58° AC. - Injecté par filonnets mm à calcite et épidote; 2 à 5% de pyrite en amas mm associée.	552353	94.14	94.48	0.34					

DE (M)	A (M)	DESCRIPTION	Echan.	DE (M)	A (M)	Long (M)	Au ppb	Ag ppm	As ppm	Cu ppm	Zn ppm
		94.48 - 95.07 Intervalle mafique (basalte) - >30 filonnets mm à cm à calcite et épidote. - Pyrite 2% en niveaux mm conducteurs	552354	94.48	95.07	0.59	64	<0.1	592.0	84	68
		94,94 à 95,07 Injecté et cisailé. Vert-rose, à calcite-quartz épidote									
95.07	99.37	GRES CONGLOMÉRATIQUE - Gris, grain fin, non magnétique. - Formé de plagioclase, quartz, biotite <5%. - Non minéralisé.									
		95.07 - 96.31 Cailloux felsiques mm à cm: 20 à 60%. - Étirés.	552355	95.07	96.57	1.50	<5	<0.1	19.0	52	69
			552356	96.57	98.07	1.50	<5	<0.1	19.0	54	43
			552357	98.07	99.37	1.30	<5	<0.1	13.0	74	31
99.37	104.00	SCHISTE à ACTINOTE - Peu carbonatisé, non minéralisé, non magnétique	552358	99.37	99.95	0.58	7	<0.1	113.0	17	24
		99.95 - 100.87 Basalte - Chloritisé, plissé.	552359	99.95	100.87	0.92	16	<0.1	71.0	87	26
			552360	100.87	102.45	1.58	43	<0.1	1100.0	2	30
			552361	102.45	104.00	1.55	18	<0.1	932.0	5	48
104.00	163.55	BASALTE CHLORITISÉ à GRENAT - Rubané irrégulier mm à cm, vert foncé, grain fin, magnétique. - Grenat 2 à 10% idiomorphe, en amas mm. Biotite 0 à 20%. - Pyrrhotine 0 à 25%, moyenne <1%; chalcopryrite <1%. En amas mm associés à >5 injections mm/m de calcite et quartz et à la chlorite. forme conducteurs mm.									
		104.00 - 104.54 Échantillon broyé - Manque >50% de l'échantillon. - Filon de quartz à fractures à talc et chlorite. Amas mm de pyrrhotine et py-	552362	104.00	104.70	0.70	911	0.2	1660.0	37	112

DE (M)	A (M)	DESCRIPTION	Echan.	DE (M)	A (M)	Long (M)	Au ppb	Ag ppm	As ppm	Cu ppm	Zn ppm
		rite, boue de faille.									
		104.54 - 104.70 Injections cm à calcite-quartz: >70% - Pyrrhotine 1 à 2%, chalcopryrite <1%									
		104.70 - 118.50 Pyrrhotine 2% en moyenne.	552363	104.70	106.20	1.50	100	<0.1	115.0	78	83
			552364	106.20	108.00	1.80	33	<0.1	73.0	50	68
			552365	108.00	109.50	1.50	702	0.6	46.0	128	60
		108.37 - 108.63 Pyrrhotine 10 à 20%; chalcopryrite <1% - En amas mm et intersticielles à la chlorite et à la calcite-quartz. - Conducteur cm.									
			552366	109.50	111.00	1.50	34	<0.1	44.0	98	54
			552367	111.00	112.50	1.50	60	<0.1	33.0	105	50
			552368	112.50	114.00	1.50	28	<0.1	40.0	84	51
			552369	114.00	115.50	1.50	13	<0.1	66.0	109	52
			552370	115.50	117.00	1.50	<5	<0.1	73.0	99	68
		115.66 - 116.42 Biotitisé - Grain fin, gris brun, <20% de chlorite et hornblende. - Pyrrhotine <1%.									
			552371	117.00	118.50	1.50	8	<0.1	47.0	96	44
			552372	118.50	120.00	1.50	<5	<0.1	108.0	94	45
			552373	120.00	121.50	1.50	9	<0.1	67.0	64	47
			552374	121.50	123.00	1.50	<5	<0.1	114.0	61	55
			552375	123.00	124.50	1.50	<5	<0.1	166.0	99	63
			552376	124.50	126.00	1.50	10	<0.1	64.0	202	61
			552377	126.00	127.50	1.50	7	<0.1	99.0	99	61
			552378	127.50	129.00	1.50	<5	<0.1	73.0	72	39
			552379	129.00	130.50	1.50	<5	<0.1	46.0	98	43
			552380	130.50	132.00	1.50	33	<0.1	35.0	66	45
			552381	132.00	132.93	0.93	87	<0.1	30.0	78	47
			552382	132.93	134.23	1.30	5	<0.1	52.0	48	35
		134.16 - 135.00 Biotitisé									
		134.16 - 137.00 Plissé	552383	134.23	135.00	0.77	<5	<0.1	57.0	70	46
			552384	135.00	135.69	0.69	<5	<0.1	17.0	145	35

Mesures de schistosité et de litage, sondage 40349-95-06

6m	77°AC Sp	123m	51°AC Sp
9m	81°AC Sp	126m	54°AC Sp
18m	72°AC Sp	129m	55°AC Sp
21m	72°AC Sp-So	132m	67°AC
24m	67°AC Sp	135m	63°AC Sp
27m	71°AC Sp	138m	68°AC Sp plissé
30m	65°AC Sp plissé	141m	57°AC Sp
33m	63°AC Sp plissé	144m	68°AC
36m	52°AC Sp plissé		
39m	66°AC So plissé	147m	66°AC Sp
42m	53°AC Sp plissé	150m	68°AC Sp
45m	50°AC Sp plissé	153m	80°AC Sp
48m	10°AC Sp plissé	156m	74°AC Sp
51m	77°AC Sp plissé	159m	81°AC So
54m	77°AC So plissé	162m	77°AC Sp
57m	75°AC So	168m	79°AC Sp
60m	81°AC So		
63m	80°AC So		
66m	83°AC So		
69m	76°AC		
72m	68°AC Sp		
75m	70°AC So		
78m	70°AC Sp		
81m	69°AC Sp		
84m	69°AC Sp		
87m	76°AC Sp		
90m	74°AC Sp		
93m	72°AC Sp		
96m	69°AC Sp		
99m	85°AC Sp		
102m			
105m			
108m	87°AC Sp		
114m	60°AC Sp		
117m	77°AC Sp		

SOQUEM (Chibougamau)

JOURNAL DE SONDAGE

Propriété: 40349

Trou no: 4034-95-07	Zone no:	Contracteur: Forages Chibougamau Ltée	Débuté le: 26/02/1995
Canton :			Terminé le: 28/02/1995
Lot :	Rang :	Claim no: 5072017	
Niveau :	Section: 18+00 E	Lieu de travail:	
Coordonnées au collet	Ligne : 18+00 E	Latitude: 5819021.21N	Azimut: 325° 0' 0"
Système de référence: Gr. 1992	Station: 1+30 S	Longitude: 703151.68 E	Inclinaison: -50° 0' 0"
		Élévation: 0.00	Longueur: 194.80
Arpenté par:			
Tests de déviation	Profondeur	Inclinaison	Az Corrigé
	194.80 M	-48° 0' "	-
Remarques : Tubage en place.			
		Débit d'eau:	Bouchon:
		Cimenté :	Dimension de la carotte: 8Q

Journal par: Guy Francoeur

Rédigé le: 01/03/1995

Trou no: 4034-95-07

DE (M)	A (M)	DESCRIPTION	Echan.	DE (M)	A (M)	Long (M)	Au ppb	Ag ppm	As ppm	Cu ppm	Zn ppm
0.00	19.00	MORT TERRAIN									
19.00	75.96	PARASCHISTE à BIOTITE-GRENAT (amphibolite altérée de Beesley) - Rubané mm à cm: gris-clair (70%), brun-roux (20%) et vert foncé (10%). Grain fin, non magnétique. - Formé de plagioclase et quartz (>80%), de biotite, grenat et hornblende concentrée dans les niveaux mafiques. - >50% Épidotisé et silicifié, parfois mylonitisé avec <1% pyrrhotine.	552386	21.00	22.50	1.50	<5	<0.1	2.7	42	103
		22.50 - 26.36 Intrusif felsique porphyrique - Plagioclase 40% en porphyre <4mm, quartz <10% (yeux de), biotite 20-40% forme la matrice, séricite en niveaux mm. - <10% protomylonite. - Non-minéralisé	552387 552388 552389	22.50 23.74 25.02	23.74 25.02 26.36	1.24 1.28 1.34	<5 <5 <5	<0.1 <0.1 <0.1	4.8 2.8 5.5	59 52 38	51 47 49
		26.36 - 28.90 Protomylonite - Peu ou pas minéralisée.	552390 552391 552392	26.36 27.57 28.90	27.57 28.90 30.00	1.21 1.33 1.10	<5 <5 <5	<0.1 <0.1 <0.1	<1.0 7.0 2.0	71 34 143	82 53 98
		30.47 - 32.11 Basalte - Contacts francs, supérieur 69°AC, inférieur 82°AC. - Non minéralisé, non magnétique.	552393 552395 552396 552397 552398 552399 552400 552401	35.50 36.98 50.23 51.68 52.87 53.79 55.23 56.55	36.98 38.48 51.68 52.87 53.79 55.23 56.55 57.82	1.48 1.50 1.45 1.19 0.92 1.44 1.32 1.27	<5 <5 <5 <5 <5 <5 <5 <5	<0.1 <0.1 <0.1 <0.1 <0.1 <0.1 <0.1 <0.1	2.8 4.4 2.8 1.7 4.0 2.9 2.1 4.2	286 237 18 15 13 14 10 18	124 127 95 59 105 114 95 140
		57.82 - 75.96 - Andradite trace à 20%, almandin 5 à 10%, pyrite 0 à 2% associée. - Aspect siliceux	552402 552403 552404 552405	57.82 58.93 60.00 60.50	58.93 60.00 60.50 61.50	1.11 1.07 0.50 1.00	<5 <5 <5 <5	<0.1 <0.1 <0.1 <0.1	6.0 6.2 7.2 4.3	18 20 23 14	112 44 7 56

DE (M)	A (M)	DESCRIPTION	Echan.	DE (M)	A (M)	Long (M)	Au ppb	Ag ppm	As ppm	Cu ppm	Zn ppm
171.35	177.19	- Biotite <10%, grenat almandin 2 à 5%. - Bonne schistosité marquée par la biotite, non magnétique.	552465	166.50	168.00	1.50	6	<0.1	2.7	43	52
			552466	168.00	169.50	1.50	20	<0.1	5.8	29	61
			552467	169.50	170.64	1.14	<5	<0.1	7.5	33	54
			552468	170.64	171.35	0.71	9	<0.1	18.0	21	32
171.35	177.19	BASALTE - Vert foncé, grain fin. - Fracturé, >20 plans mm/m à chlorite et talc. - Injecté, 10 à >50 injections mm/m de calcite.	552469	171.35	173.00	1.65	8	0.2	75.0	82	39
			552470	173.00	174.00	1.00	17	0.4	178.0	103	53
			552471	174.00	174.93	0.93	21	0.2	194.0	66	63
			552472	174.93	175.58	0.65	182	0.4	47.0	88	117
			552473	175.58	176.41	0.83	111	0.6	77.0	88	58
			552475	176.41	177.19	0.78	32	0.3	14.0	54	29
			552476	177.19	178.50	1.31	21	<0.1	64.0	48	101
			552477	178.50	180.00	1.50	35	<0.1	30.0	45	94
			552478	180.00	181.50	1.50	15	0.2	22.0	41	91
			552479	187.50	189.00	1.50	9	<0.1	6.6	51	74
552480	189.00	190.50	1.50	<5	0.2	16.0	73	91			
177.19	194.80	GRES - Gris moyen, grain fin, non magnétique. Non rubané, aspect massif, bonne schistosité marquée par la biotite.	552476	177.19	178.50	1.31	21	<0.1	64.0	48	101
			552477	178.50	180.00	1.50	35	<0.1	30.0	45	94
			552478	180.00	181.50	1.50	15	0.2	22.0	41	91
			552479	187.50	189.00	1.50	9	<0.1	6.6	51	74
552480	189.00	190.50	1.50	<5	0.2	16.0	73	91			

Mesures de schistosité et de litage, sondage 40349-95-07

15m		123m	86°AC
18m		126m	82°AC
21m	73°AC So	129m	60°AC
24m	74°AC Sp	132m	69°AC
27m	76°AC Sp	135m	84°AC Sp
30m	81°AC Sp	138m	60°AC Sp
33m	86°AC Sp	141m	81°AC Sp So
36m	82°AC Sp	144m	73°AC Sp
39m	76°AC Sp		
42m	73°AC So	147m	76°AC Sp
45m	70°AC Sp	150m	75°AC Sp
48m	62°AC Sp	153m	79°AC Sp
51m	75°AC Sp	156m	77
54m	80°AC Sp	159m	86°AC So
57m	71°AC Sp	162m	83°AC Sp
60m	77°AC Sp	165m	82°AC Sp
63m	72°AC So	168m	80°AC Sp
66m	80°AC So	171m	79°AC Sp
69m	85°AC So	174m	63°AC Sp
72m	82°AC Sp	177m	74°AC Sp
75m	71°AC Sp	180m	89°AC Sp So
78m	48°AC Sp rubanné	183m	79°AC So
81m	70°AC rubanné	186m	88°AC So
84m		189m	90°AC So
87m	88°AC Sp	192m	79°AC So
90m	77°AC So		
93m	85°AC So		
96m	69		
99m	76		
102m	79° Sp		
105m	75° Sp		
108m	82°Sp		
111	70		
114m	80°AC Sp		
117m	83°AC Sp		

SOQUEM (Chibougamau)

JOURNAL DE SONDAGE

Propriété: 40349

Trou no: 4034-95-08	Zone no:	Contracteur: Forages Chibougamau Ltée	Débuté le: 08/03/1995
Canton :			Terminé le: 10/03/1995
Lot :	Rang :	Claim no: 5072006	
Niveau :	Section:	Lieu de travail:	
Coordonnées au collet	Ligne : 40+00 E	Latitude: 5919855.60N	Azimut: 325° 0' 0"
Système de référence: Gr. 1994	Station: 1+60 N	Longitude: 705211.43 E	Inclinaison: -50° 0' 0"
		Élévation: 0.00	Longueur: 150.00
Arpenté par:			
Tests de déviation	Profondeur	Inclinaison	Az Corrigé
	150.00 M	-51° ' "	-
Remarques :			
	Débit d'eau:	Bouchon:	
	Cimenté :	Dimension de la carotte: BQ.	

Journal par: Guy Francoeur

Rédigé le: 11/03/1995

Trou no: 4034-95-08

DE (M)	A (M)	DESCRIPTION	Echan.	DE (M)	A (M)	Long (M)	Au ppb	Ag ppm	As ppm	Cu ppm	Zn ppm
0.00	9.00	MORT TERRAIN									
9.00	32.45	GRES	552481	13.50	15.00	1.50	<5	<0.1	1.2	27	46
		- Grès fin, localement rubané, faiblement magnétique.	552482	15.00	16.50	1.50	<5	<0.1	<1.0	17	59
		- Gris-brun, felsique avec <10% biotite, apparence silicifiée. 1 à 5% de grenat almandin, peu minéralisé.	552483	16.50	18.00	1.50	<5	<0.1	<1.0	18	48
		- 30% niveaux felsiques cm à biotite (10 à 20%).	552484	18.00	19.50	1.50	<5	<0.1	<1.0	27	130
		- 0 à 20% niveaux mafiques cm à hornblende (>60%).	552485	19.50	20.67	1.17	<5	<0.1	1.6	13	159
		- Injecté, >10 fractures mm/m de calcite-quartz.	552486	20.67	21.78	1.11	<5	<0.1	<1.0	14	53
		- Localement épidotisé et silicifié.	552487	21.78	23.30	1.52	<5	<0.1	<1.0	16	61
			552488	23.30	24.68	1.38	41	<0.1	1.0	13	50
			552489	24.68	26.30	1.62	<5	<0.1	<1.0	23	49
			552490	26.30	27.80	1.50	<5	<0.1	<1.0	14	43
			552491	30.60	32.11	1.51	<5	<0.1	2.9	11	44
		32.11 - 32.45 Mylonite	552492	32.11	32.45	0.34	<5	<0.1	1.3	35	28
		- Bon rubanement. 60% niveaux (lentille?) à calcite-quartz.									
		- Pyrite <1%.									
32.45	79.08	GABBRO									
		- Vert foncé, grain moyen, peu à fortement magnétique.									
		- Composé 60% hornblende et 40% de plagioclase.									
		- Souvent massif, schistosité varie de nulle à forte.									
		- Injecté <10 fractures mm/m à calcite-quartz.									
		32.45 - 33.38	552493	32.45	33.32	0.87	<5	0.2	1.4	150	26
		Zone de contact	552494	33.32	34.50	1.18	<5	<0.1	3.7	89	23
		- Biotite 5%, pyrrhotine <1%.									
		- Forte schistosité.									
		33.38 - 43.50	551501	36.45	37.95	1.50	7	<0.1	4.2	212	34
		Schistosité bien marquée.	551502	37.95	38.53	0.58	<5	<0.1	2.1	82	42
		38.53 - 39.24	551503	38.53	39.24	0.71	<5	<0.1	6.3	154	34
		Leuco-gabbro épidotisé									
		- Pyrite 2%.									
		39.24 - 40.81	551504	39.24	40.81	1.57	<5	<0.1	5.8	128	22
		- >100 fractures mm/m à calcite+épidote.									
			551505	40.81	42.00	1.19	7	<0.1	2.2	170	16
			551506	42.00	42.63	0.63	<5	<0.1	2.5	150	18

Mesures de schistosité et de litage, sondage 40349-95-08

12m	82°AC Sp
15m	76°AC So
18m	82°AC So
21m	83°AC So Sp
24m	82°AC Sp
27m	81°AC Sp
30m	83°AC So
33m	70°AC Sp
36m	70°AC Sp
39m	34°AC Sp
42m	57°AC Sp
45m	67°AC Sp
48m	massif
51m	54°AC Sp
54m	massif
57m	73°AC Sp
60m	massif
63m	64°AC So
66m	massif
69m	53°AC So
72m	51°AC Sp
75m	massif
78m	massif

SOQUEM (Chibougamau)

JOURNAL DE SONDAGE

Propriété: 40349

Trou no: 4034-95-09	Zone no:	Contracteur: Forages Chibougamau Ltée	Débuté le: 10/03/1995
Canton :			Terminé le: 12/03/1995
Lot :	Rang :	Claim no: 5097314	
Niveau :	Section: 60 Est	Lieu de travail:	
Coordonnées au collet	Ligne : 60+00 E	Latitude: 5820376.89N	Azimut: 325° 0' 0"
Système de référence: Gr. 1994	Station: 5+00 S	Longitude: 707241.28 E	Inclinaison: -50° 0' 0"
		Élévation: 0.00	Longueur: 204.00
Arpenté par:			
Tests de déviation	Profondeur	Inclinaison	Az Corrigé
	204.00 M	-47° ' "	-
Remarques :			
	Débit d'eau:	Bouchon:	
	Cimenté :	Dimension de la carotte: BQ	

Journal par: Guy Francoeur

Rédigé le: 13/03/1995

Trou no: 4034-95-09

DE (M)	A (M)	DESCRIPTION	Echan.	DE (M)	A (M)	Long (M)	Au ppb	Ag ppm	As ppm	Cu ppm	Zn ppm
0.00	4.50	MORT TERRAIN									
4.50	24.72	GABBRO	551560	5.50	6.00	0.50	<5	<0.1	3.0	126	53
		- Grain moyen et grain fin, vert foncé, peu magnétique.	551561	6.00	7.50	1.50	14	0.3	1.4	338	30
		- Formé de hornblende (>60%) et plagioclase (<40%).	551562	7.50	9.00	1.50	<5	<0.1	1.2	78	27
		- Schistosité bien marquée.	551563	9.00	10.25	1.25	<5	<0.1	1.3	49	65
		- <1% pyrrhotine disséminée et en niveaux concordants à Sp.	551564	10.25	11.25	1.00	<5	<0.1	1.5	165	35
		- >10 injections mm/m de calcite-quartz ± épidote	551565	12.00	13.29	1.29	<5	<0.1	2.4	306	25
			551567	13.29	14.80	1.51	<5	<0.1	2.3	162	28
			551566	14.80	15.60	0.80	<5	<0.1	2.0	126	25
			551568	18.00	19.50	1.50	<5	<0.1	2.5	99	35
			551569	19.50	21.00	1.50	39	<0.1	1.9	120	29
		23.00 - 24.35	551570	23.22	24.72	1.50	<5	<0.1	2.1	188	52
		- Forte schistosité									
		24,12 à 24,35 10% de biotite concentrée en niveaux mm.									
		24.35 - 24.72									
		- 50% de niveaux mm à cm de calcite.									
24.72	74.91	GRES FIN	551571	24.72	26.22	1.50	<5	<0.1	1.9	3	21
		- Gris, grain fin, localement magnétique, schistosité marqué par la biotite.	551572	26.22	27.77	1.55	<5	<0.1	1.6	2	15
		- Riche en plagioclase, avec biotite (5 à 20%); trace de pyrite.	551573	27.77	29.00	1.23	<5	<0.1	1.5	112	18
		- Souvent mylonitisé: marqué par formation d'amas de biotite fortement étiré et faible foliation.	551574	29.00	30.00	1.00	<5	<0.1	<1.0	204	19
		- <10% de fragments felsiques étirés <cm.	551575	30.00	30.78	0.78	<5	0.2	<1.0	210	19
			551576	30.78	32.28	1.50	<5	<0.1	1.4	9	17
			551577	34.50	36.00	1.50	<5	<0.1	<1.0	16	13
		36.00 - 36.80	551578	36.00	36.80	0.80	<5	<0.1	1.5	102	91
		Schiste à biotite épidotisée									
		- >40% de biotite. Peu minéralisé.									
		36.80 - 37.26	551579	36.80	37.26	0.46	<5	<0.1	<1.0	22	90
		Mylonite									
		- Épidotisé mais non minéralisé.									
		37.26 - 38.80	551580	37.26	38.80	1.54	65	<0.1	1.6	28	95
		Schiste à biotite	551581	38.80	40.00	1.20	<5	0.2	2.5	94	27
		- 50% de l'échantillon broyé.									
			551582	43.50	44.84	1.34	<5	<0.1	1.5	86	26
			551583	44.84	46.78	1.94	<5	<0.1	<1.0	65	30

DE (M)	A (M)	DESCRIPTION	Echan.	DE (M)	A (M)	Long (M)	Au ppb	Ag ppm	As ppm	Cu ppm	Zn ppm
			551621	132.32	133.82	1.50	<5	<0.1	1.1	20	58
			551622	133.82	135.24	1.42	<5	0.1	<1.0	72	95
		133.83 - 135.87 Basalte - <10% niveaux riche en biotite.	551623	135.24	136.96	1.72	<5	0.3	1.3	92	60
		136.25 - 136.96 Basalte	551624	136.96	138.00	1.04	<5	0.1	1.0	20	47
			551625	138.00	139.50	1.50	<5	<0.1	1.4	21	47
			551626	139.50	141.00	1.50	<5	<0.1	<1.0	10	42
			551627	141.00	142.50	1.50	<5	<0.1	<1.0	9	51
			551628	142.50	144.00	1.50	<5	0.2	1.2	9	371
			551629	144.00	145.50	1.50	<5	0.1	<1.0	10	38
			551630	145.50	147.00	1.50	<5	<0.1	<1.0	11	32
			551631	147.00	148.50	1.50	<5	<0.1	1.5	7	68
			551632	148.50	149.00	0.50	<5	0.8	2.8	161	4807
		148.60 - 149.05 Mylonitisé et injecté - 10% Pyrite, 10% pyrrhotine et 5% sphalérite en niveaux semi-concor- dants.	551633	149.00	150.00	1.00	<5	0.1	2.3	61	83
		149.05 - 152.14 Basalte	551634	150.00	151.00	1.00	<5	0.3	2.9	67	93
		- <2% injections de pyrrhotine.	551635	151.00	152.14	1.14	<5	0.6	2.7	43	84
		152.14 - 153.81 - Pyrite 10%, pyrrhotine 5%, sphalé- rite 2%.	551636	152.14	153.00	0.86	13	1.6	4.5	177	>19996
			551637	153.00	153.81	0.81	<5	1.0	3.5	122	10436
			551638	153.81	155.50	1.69	<5	<0.1	2.8	19	377
			551639	155.50	156.00	0.50	<5	0.2	6.3	9	58
		155.76 - 155.78 - Pyrite massive.	551640	156.00	157.50	1.50	<5	0.3	2.6	12	498
			551641	157.50	159.00	1.50	<5	0.3	1.6	14	47
			551642	159.00	160.50	1.50	<5	<0.1	<1.0	10	31
			551643	160.50	162.00	1.50	<5	0.2	2.8	18	32
			551644	162.00	163.50	1.50	<5	<0.1	2.5	14	46
		163.30 - 168.35 - Pyrite 15%; concentré en niveaux cm	551645	163.50	165.00	1.50	<5	0.3	13.0	20	54
			551646	165.00	166.50	1.50	<5	0.3	22.0	21	39

Mesures de schistosité et de litage, sondage 40349-95-09

12m	56°AC
15m	55°AC
18m	64°AC
21m	57°AC
24m	74°AC
27m	71°AC
30m	79°AC
33m	65°AC
36m	66°AC
39m	70°AC
42m	68°AC
45m	63°AC
48m	67°AC
51m	68°AC
54m	80°AC
57m	70°AC
60m	80°AC
63m	80°AC
66m	72°AC
69m	68°AC
72m	62°AC

Annexe 2. Résultats d'analyses

RAPPORT: C95-60234.0 (COMPLET)

DATE DE L'IMPRESSION: 20-MAR-95

PROJET: 40349

PAGE 1

NUMÉRO DE L'ÉCHANTILLON	ÉLÉMENT UNITÉS	Au30 PPB	As PPM	Sb PPM	Cu PPM	Pb PPM	Zn PPM	Mo PPM	Ag PPM	Hg PPM
552001		12	3.6	<0.2	60	<2	94	3	0.2	0.012
552002		<5	1.7	<0.2	3	3	59	2	<0.1	<0.010
552003		10	1.4	<0.2	47	3	82	3	<0.1	<0.010
552004		<5	1.9	1.4	12	4	89	3	<0.1	<0.010
552005		7	2.8	1.1	5	5	53	4	<0.1	<0.010
552006		<5	1.1	0.9	5	<2	63	2	<0.1	0.012
552007		94	383.0	2.4	27	5	85	3	0.2	<0.010
552008		77	131.0	5.7	48	7	112	5	<0.1	<0.010
552009		6	36.0	4.3	44	7	76	5	<0.1	<0.010
552010		8	31.0	3.9	45	7	82	4	<0.1	0.027
552011		6	97.0	4.3	40	7	82	5	<0.1	<0.010
552012		86	83.0	5.3	67	7	109	6	<0.1	0.011
552013		6	27.0	3.5	59	8	80	5	<0.1	<0.010
552014		<5	29.0	2.5	38	6	65	5	<0.1	<0.010
552015		17	53.0	2.8	29	5	65	6	<0.1	0.018
552016		65	865.0	13.0	77	4	31	4	<0.1	0.022
552017		77	1200.0	17.0	72	4	48	3	<0.1	<0.010
552018		63	2080.0	15.0	48	3	57	4	<0.1	<0.010
552019		146	1360.0	24.7	31	4	43	4	<0.1	<0.010
552020		74	1540.0	19.0	46	5	35	5	<0.1	<0.010
552021		9	31.0	3.2	111	5	57	3	<0.1	<0.010
552022		<5	48.0	3.7	59	4	47	3	<0.1	0.012
552023		6	62.0	3.6	80	3	35	2	<0.1	<0.010
552024		8	88.0	3.5	73	4	90	3	<0.1	<0.010
552025		<5	95.0	2.5	78	3	68	3	<0.1	<0.010
552026		88	892.0	1.7	143	3	133	4	<0.1	0.020
552027		159	2750.0	4.4	127	4	102	3	0.3	<0.010
552028		48	701.0	1.4	80	4	42	2	<0.1	<0.010
552029		5	40.0	2.1	115	6	47	2	<0.1	<0.010
552030		<5	24.0	1.2	73	3	40	3	<0.1	<0.010
552031		<5	50.0	1.0	180	3	54	3	<0.1	0.019
552032		7	47.0	1.8	130	3	39	3	<0.1	0.019
552033		8	10.0	0.9	75	3	33	3	<0.1	<0.010
552034		9	20.0	0.4	116	4	40	3	<0.1	<0.010
552035		76	127.0	0.7	94	3	42	2	<0.1	<0.010
552036		188	3320.0	5.2	94	4	38	3	0.2	<0.010
552037		<5	22.0	0.5	80	<2	37	2	<0.1	<0.010

RAPPORT: C95-60235.0 (COMPLET)

DATE DE L'IMPRESSION: 20-MAR-95

PROJET: 40349

PAGE 1

NUMÉRO DE L'ÉCHANTILLON	ÉLÉMENT UNITÉS	Au30 PPB	As PPM	Sb PPM	Cu PPM	Pb PPM	Zn PPM	Mo PPM	Ag PPM	Hg PPM
552038		6	15.0	1.0	73	3	40	2	<0.1	<0.010
552039		8	21.0	1.0	104	5	59	3	<0.1	0.014
552040		<5	26.0	1.4	140	4	51	3	<0.1	<0.010
552041		<5	26.0	0.8	93	3	32	2	<0.1	<0.010
552042		119	31.0	0.9	50	3	37	2	<0.1	<0.010
552043		<5	34.0	0.9	147	4	33	3	<0.1	<0.010
552044		<5	45.0	1.2	58	4	36	2	<0.1	0.011
552045		<5	33.0	1.3	42	5	136	3	<0.1	<0.010
552046		97	795.0	12.0	172	3	444	<1	0.2	<0.010
552047		89	1370.0	25.9	18	10	59	3	<0.1	<0.010
552048		36	474.0	11.0	60	5	64	3	<0.1	0.013
552049		74	763.0	15.0	18	<2	25	<1	<0.1	0.020
552050		18	30.0	0.9	348	9	4568	6	0.7	0.030
552051		10	137.0	1.3	83	6	121	3	<0.1	0.019
552052		<5	26.0	<0.2	6	5	53	<1	<0.1	0.011
552053		9	435.0	<0.2	13	9	98	2	<0.1	<0.010
552054		65	935.0	1.1	411	40	2119	9	0.9	<0.010
552055		<5	60.0	<0.2	15	8	95	3	0.2	0.016
552056		15	202.0	1.6	191	9	362	6	0.2	0.013
552057		77	1490.0	23.2	8	2	16	<1	<0.1	<0.010
552058		84	1540.0	23.4	14	2	13	<1	<0.1	0.021
552059		20	694.0	7.7	25	2	64	1	<0.1	<0.010
552060		16	377.0	<0.2	72	7	120	4	<0.1	<0.010
552061		<5	6.1	<0.2	16	7	125	3	<0.1	<0.010
552062		44	2610.0	8.2	11	2	18	<1	<0.1	<0.010
552063		32	1120.0	8.9	18	3	11	2	<0.1	<0.010
552064		66	2210.0	17.0	11	2	8	3	<0.1	<0.010
552065		45	2750.0	11.0	53	7	15	3	<0.1	<0.010
552066		20	115.0	0.8	156	7	480	4	0.4	0.023
552067		<5	49.0	<0.2	18	8	92	3	<0.1	<0.010
552068		10	6.3	0.4	189	13	66	5	0.5	<0.010
552069		33	3360.0	6.3	104	5	221	2	0.2	<0.010
552070		12	196.0	1.0	137	10	454	4	0.3	<0.010
552071		11	90.0	<0.2	43	6	77	7	<0.1	<0.010
552072		10	698.0	1.3	60	4	44	<1	<0.1	<0.010
552073		<5	32.0	<0.2	45	9	73	4	<0.1	0.014

DATE DE L'IMPRESSION: 30-MAR-95

RAPPORT: C95-60269.0 (COMPLET)

PROJET: 40349

PAGE 2

NUMÉRO DE L'ÉCHANTILLON	ÉLÉMENT UNITÉS	Au30 PPB	As PPM	Sb PPM	Cu PPM	Pb PPM	Zn PPM	Mo PPM	Ag PPM	Hg PPM
552136		<5	17.0	1.2	70	8	138	6	<0.1	<0.010
552137		<5	12.0	0.9	52	11	153	6	<0.1	<0.010
552138		<5	18.0	1.5	56	6	107	6	<0.1	<0.010
552139		<5	56.0	2.4	46	7	92	6	<0.1	<0.010
552140		<5	28.0	1.2	46	8	73	5	<0.1	<0.010
552141		<5	16.0	2.6	43	8	91	5	<0.1	<0.010
552142		<5	1.3	1.8	48	9	85	4	<0.1	<0.010
552143		<5	5.4	1.9	43	9	57	4	<0.1	<0.010
552144		<5	3.5	3.7	42	18	121	5	<0.1	<0.010
552145		<5	454.0	5.7	39	29	96	4	<0.1	<0.010
552146		25	5.5	2.8	196	33	1514	8	0.3	<0.010
552147		15	2.7	1.8	174	15	245	4	0.3	<0.010
552148		24	2.5	2.2	231	16	73	4	0.2	<0.010
552149		39	4.4	4.5	208	18	496	5	0.4	<0.010
552150		24	23.0	5.1	163	26	1086	6	0.2	0.025
552151		<5	102.0	2.4	55	22	122	<1	<0.1	0.011
552152		<5	147.0	1.8	97	5	26	2	<0.1	<0.010
552153		<5	186.0	1.1	43	<2	24	2	<0.1	0.012
552154		<5	196.0	2.0	62	3	18	2	<0.1	<0.010
552155		<5	42.0	0.7	72	<2	8	<1	<0.1	<0.010
552156		<5	56.0	2.5	60	<2	14	<1	<0.1	<0.010

RAPPORT: C95-60270.0 (COMPLET)

DATE DE L'IMPRESSION: 28-MAR-95

PROJET: 40349

PAGE 1

NUMÉRO DE L'ÉCHANTILLON	ÉLÉMENT UNITÉS	Au30 PPB	As PPM	Sb PPM	Cu PPM	Pb PPM	Zn PPM	Mo PPM	Ag PPM	Hg PPM
552157		6	<1.0	<0.2	28	5	72	5	<0.1	<0.010
552158		7	<1.0	1.2	28	4	65	4	<0.1	<0.010
552159		<5	25.0	0.8	65	4	77	5	<0.1	<0.010
552160		<5	11.0	0.9	35	5	86	5	<0.1	<0.010
552161		<5	<1.0	0.4	60	5	132	5	<0.1	<0.010
552162		<5	<1.0	0.6	53	5	98	5	<0.1	<0.010
552163		<5	3.0	0.8	40	5	77	5	<0.1	<0.010
552164		<5	4.4	0.8	53	5	82	4	<0.1	<0.010
552165		<5	24.0	1.9	73	7	91	5	0.2	<0.010
552166		<5	11.0	1.1	54	6	91	5	<0.1	<0.010
552167		<5	2.2	1.0	59	5	85	6	<0.1	<0.010
552168		16	1.6	2.0	651	8	67	7	0.2	<0.010
552169		<5	5.1	1.5	54	4	63	4	<0.1	<0.010
552170		45	198.0	18.0	15	3	31	3	<0.1	<0.010
552171		26	99.0	10.0	44	<2	32	3	<0.1	<0.010
552172		33	203.0	16.0	45	3	30	4	<0.1	<0.010
552173		77	525.0	42.0	81	5	32	5	<0.1	<0.010
552174		10	68.0	9.0	98	3	34	4	<0.1	<0.010
552175		15	163.0	10.0	80	5	35	5	<0.1	<0.010
552176		16	145.0	17.0	52	5	29	4	<0.1	<0.010
552177		<5	<1.0	2.6	66	3	20	4	<0.1	<0.010
552178		11	60.0	8.6	40	4	29	4	<0.1	<0.010
552179		13	335.0	29.2	69	4	30	4	<0.1	<0.010
552180		28	25.0	1.7	56	6	102	6	<0.1	<0.010
552181		25	19.0	3.8	43	7	63	4	<0.1	<0.010
552182		20	18.0	2.7	43	7	64	5	0.2	<0.010
552183		73	174.0	5.1	49	9	100	7	0.1	<0.010
552184		201	173.0	5.1	60	8	108	7	0.2	<0.010
552185		88	75.0	2.9	40	7	63	5	<0.1	<0.010
552186		<5	14.0	2.0	42	7	68	5	<0.1	<0.010
552187		<5	2.8	1.9	54	4	33	4	<0.1	<0.010
552188		26	345.0	19.0	50	3	35	4	<0.1	<0.010
552189		35	456.0	22.3	34	<2	35	3	<0.1	<0.010
552190		98	640.0	12.0	78	3	38	3	<0.1	0.020
552191		79	268.0	10.0	82	4	53	4	<0.1	<0.010

RAPPORT: C95-60268.0 (COMPLET)

DATE DE L'IMPRESSION: 30-MAR-95

PROJET: 40349

PAGE 1

NUMÉRO DE L'ÉCHANTILLON	ÉLÉMENT UNITÉS	Au30 PPB	As PPM	Sb PPM	Cu PPM	Pb PPM	Zn PPM	Mo PPM	Ag PPM	Hg PPM
552074		6	38.0	3.6	46	8	75	5	<0.1	<0.010
552075		36	84.0	2.6	91	13	340	6	0.2	<0.010
552076		56	81.0	3.7	53	11	129	6	<0.1	<0.010
552077		<5	31.0	3.8	42	7	77	5	<0.1	<0.010
552078		6	38.0	1.9	52	6	77	5	<0.1	<0.010
552079		22	32.0	0.9	55	7	79	6	0.2	<0.010
552080		<5	25.0	1.8	63	14	218	6	0.2	0.012
552081		<5	10.0	0.6	37	10	72	4	<0.1	0.010
552082		<5	35.0	6.2	42	10	86	5	0.2	<0.010
552083		24	10.0	3.3	197	24	2240	6	0.5	<0.010
552084		13	<1.0	2.8	234	30	2080	7	0.6	0.015
552085		50	8.1	4.4	787	27	890	5	0.7	<0.010
552086		<5	55.0	7.4	129	23	61	3	0.3	<0.010
552087		19	216.0	6.7	99	<2	31	3	0.2	<0.010
552088		<5	<1.0	0.9	73	<2	18	2	<0.1	<0.010
552089		<5	<1.0	1.4	65	<2	18	2	<0.1	0.016
552090		<5	<1.0	2.0	64	<2	31	3	<0.1	<0.010
552091		<5	<1.0	2.0	38	<2	35	3	<0.1	0.011
552092		7	18.0	5.9	263	<2	16	5	<0.1	<0.010
552093		<5	2.1	1.8	44	<2	31	2	<0.1	0.011
552094		<5	28.0	1.4	42	<2	23	3	<0.1	0.010
552095		7	78.0	2.8	48	<2	19	2	<0.1	<0.010
552200		6	29.0	1.3	43	6	80	5	<0.1	0.014

RAPPORT: C95-60269.0 (COMPLET)

DATE DE L'IMPRESSION: 30-MAR-95

PROJET: 40349

PAGE 1

NUMÉRO DE L'ÉCHANTILLON	ÉLÉMENT UNITÉS	Au30 PPB	As PPM	Sb PPM	Cu PPM	Pb PPM	Zn PPM	Mo PPM	Ag PPM	Hg PPM
552096		7	108.0	8.0	60	<2	17	2	<0.1	<0.010
552097		<5	96.0	4.2	85	<2	24	3	<0.1	<0.010
552098		<5	10.0	2.1	120	3	26	4	<0.1	<0.010
552099		22	54.0	2.4	90	<2	17	3	<0.1	<0.010
552100		10	34.0	2.4	135	<2	15	3	<0.1	<0.010
552101		<5	28.0	2.9	113	<2	22	4	<0.1	0.011
552102		7	31.0	3.0	138	<2	21	4	<0.1	0.011
552103		25	119.0	2.5	114	<2	24	3	<0.1	<0.010
552104		122	625.0	3.8	111	<2	28	3	<0.1	<0.010
552105		9	119.0	4.4	109	<2	46	2	<0.1	0.011
552106		<5	106.0	3.4	120	<2	38	3	<0.1	<0.010
552107		<5	98.0	6.4	101	<2	37	3	<0.1	<0.010
552108		<5	109.0	6.5	108	3	46	4	<0.1	0.010
552109		31	12.0	6.1	78	5	55	4	<0.1	0.019
552110		14	547.0	10.0	31	5	78	5	<0.1	<0.010
552111		7	80.0	3.9	40	5	66	4	<0.1	<0.010
552112		<5	47.0	8.1	116	6	66	4	<0.1	0.011
552113		39	159.0	2.4	40	6	70	5	<0.1	0.011
552114		83	1040.0	4.5	43	9	87	5	<0.1	<0.010
552115		104	103.0	6.1	111	16	627	8	0.6	<0.010
552116		13	64.0	3.6	56	6	96	5	<0.1	<0.010
552117		39	233.0	3.3	50	5	129	5	0.2	<0.010
552118		52	146.0	3.3	52	7	110	5	<0.1	<0.010
552119		34	84.0	3.0	34	10	82	5	<0.1	<0.010
552120		11	93.0	2.5	90	10	334	6	<0.1	<0.010
552121		9	46.0	1.6	49	8	77	5	<0.1	<0.010
552122		<5	16.0	0.9	38	11	70	5	<0.1	<0.010
552123		10	117.0	1.4	46	10	100	5	<0.1	0.011
552124		<5	41.0	0.9	54	7	74	4	<0.1	<0.010
552125		8	245.0	<0.7	46	9	128	5	<0.1	0.015
552126		<5	42.0	<0.5	40	13	81	5	<0.1	<0.010
552127		<5	6.4	1.0	34	7	75	4	<0.1	0.016
552128		<5	8.3	1.5	40	6	70	4	<0.1	0.013
552129		6	15.0	1.3	34	7	74	4	<0.1	0.011
552130		<5	24.0	1.3	44	7	71	5	<0.1	<0.010
552131		<5	16.0	<0.5	46	7	90	5	<0.1	<0.010
552132		<5	20.0	1.3	52	4	161	6	<0.1	0.011
552133		<5	20.0	1.0	51	6	96	5	<0.1	0.014
552134		<5	29.0	1.3	55	6	93	6	<0.1	<0.010
552135		<5	21.0	1.2	49	7	120	6	<0.1	<0.010

RAPPORT: C95-60271.0 (COMPLET)

DATE DE L'IMPRESSION: 30-MAR-95

PROJET: 40349

PAGE 1

NUMÉRO DE L'ÉCHANTILLON	ÉLÉMENT UNITÉS	Au30 PPB	As PPM	Sb PPM	Cu PPM	Pb PPM	Zn PPM	Mo PPM	Ag PPM	Hg PPM
552192		6	2.3	1.3	48	4	82	3	<0.1	<0.010
552193		29	6.3	1.2	64	6	98	4	<0.1	<0.010
552194		13	4.8	0.5	70	5	97	4	0.2	<0.010
552195		71	568.0	11.0	67	3	52	3	<0.1	<0.010
552196		14	16.0	<0.2	81	5	62	4	<0.1	<0.010
552197		28	10.0	<0.2	52	4	107	3	0.2	<0.010
552198		16	29.0	0.5	60	6	124	4	0.2	<0.010
552199		15	38.0	0.8	74	8	133	4	0.2	<0.010
552201		10	<1.0	0.8	92	9	130	3	0.3	<0.010
552202		9	16.0	1.0	64	5	113	4	<0.1	<0.010
552203		10	24.0	1.0	53	7	73	4	<0.1	<0.010
552204		<5	11.0	0.9	39	11	79	3	<0.1	<0.010
552205		<5	38.0	1.3	46	8	99	3	0.2	<0.010
552206		<5	2.6	0.7	27	6	65	2	<0.1	<0.010
552207		7	90.0	2.4	51	6	93	3	<0.1	0.010
552208		<5	8.0	0.5	64	5	107	4	<0.1	<0.010
552209		6	8.3	0.7	48	8	76	4	<0.1	<0.010
552210		<5	<1.0	<0.2	36	6	60	4	<0.1	<0.010
552211		7	1.4	0.5	184	8	419	16	0.2	0.012
552212		20	599.0	6.0	26	<2	57	3	<0.1	<0.010
552213		13	428.0	5.5	88	4	24	4	<0.1	<0.010
552214		15	769.0	4.0	86	4	52	3	<0.1	<0.010
552215		20	658.0	6.8	19	<2	31	3	<0.1	<0.010
552216		26	645.0	8.0	11	<2	42	3	<0.1	<0.010
552217		<5	13.0	1.1	102	3	39	2	<0.1	<0.010
552218		8	31.0	0.8	97	4	39	2	<0.1	<0.010
552219		8	15.0	1.4	93	3	39	3	<0.1	<0.010
552220		<5	4.0	1.3	134	3	37	3	<0.1	<0.010
552221		<5	4.6	1.2	71	<2	34	2	<0.1	<0.010
552222		<5	5.5	1.1	85	3	33	3	<0.1	<0.010
552223		<5	3.5	0.8	70	3	36	2	<0.1	<0.010
552224		<5	33.0	0.8	88	<2	32	2	<0.1	<0.010
552225		<5	13.0	0.5	155	3	32	3	<0.1	<0.010
552226		8	39.0	1.0	68	3	35	2	<0.1	<0.010
552227		13	<1.0	0.6	41	7	62	3	<0.1	<0.010

DATE DE L'IMPRESSION: 4-APR-95

RAPPORT: C95-60326.0 (COMPLET)

PROJET: 40349

PAGE 1

NUMÉRO DE L'ÉCHANTILLON	ÉLÉMENT UNITÉS	Au30 PPB	As PPM	Sb PPM	Cu PPM	Pb PPM	Zn PPM	Mo PPM	Ag PPM	Hg PPM
552304		<5	5.9	1.3	143	9	70	7	0.2	<0.010
552305		<5	4.6	0.9	18	5	23	<1	<0.1	<0.010
552306		<5	1.5	<0.2	15	4	35	<1	<0.1	<0.010
552307		<5	2.5	0.7	11	5	34	2	<0.1	<0.010
552308		<5	1.3	0.8	9	5	26	<1	<0.1	<0.010
552309		<5	1.6	0.8	26	4	55	<1	<0.1	<0.010
552310		<5	2.2	1.1	35	<2	104	3	<0.1	<0.010
552311		<5	1.2	1.0	10	5	35	<1	<0.1	<0.010
552312		<5	2.0	1.2	6	6	7	<1	<0.1	<0.010
552313		<5	2.1	1.0	30	4	27	<1	<0.1	<0.010
552314		<5	1.9	0.8	18	4	34	<1	<0.1	<0.010
552315		<5	3.9	0.8	37	3	49	<1	<0.1	<0.010
552316		<5	12.0	0.9	38	4	61	<1	<0.1	<0.010
552317		<5	<1.0	0.8	20	5	52	2	<0.1	<0.010
552318		<5	1.5	0.7	25	4	70	2	<0.1	<0.010
552319		<5	1.5	0.8	48	3	69	2	<0.1	<0.010
552320		<5	<1.0	0.7	22	3	110	2	<0.1	<0.010
552321		<5	<1.0	<0.2	15	<2	86	3	<0.1	<0.010
552322		<5	1.7	0.6	24	4	115	2	<0.1	<0.010
552323		<5	4.2	0.6	42	<2	73	<1	<0.1	<0.010
552324		<5	1.7	<0.2	35	<2	72	<1	<0.1	<0.010
552325		<5	<1.0	0.4	34	4	89	<1	<0.1	<0.010
552326		56	2.3	0.7	25	5	69	<1	<0.1	<0.010
552327		6	3.4	1.4	34	5	67	<1	<0.1	<0.010
552328		9	45.0	1.6	28	3	58	<1	<0.1	<0.010
552329		<5	14.0	1.0	37	3	51	2	<0.1	<0.010
552330		98	826.0	8.4	26	6	59	2	0.2	<0.010
552331		213	394.0	2.6	100	12	295	4	0.3	<0.010
552332		202	583.0	3.9	46	5	101	2	<0.1	<0.010
552333		225	513.0	17.0	68	5	68	2	<0.1	<0.010
552334		9	20.0	1.0	61	5	84	3	<0.1	<0.010
552335		<5	14.0	<0.2	69	4	61	3	<0.1	<0.010
552336		<5	20.0	<0.2	51	4	61	3	<0.1	<0.010
552337		<5	11.0	<0.2	73	5	56	3	<0.1	<0.010
552338		<5	9.0	<0.2	65	6	62	4	<0.1	<0.010
552339		<5	14.0	<0.2	77	5	96	3	<0.1	<0.010
552340		<5	15.0	1.1	33	6	51	<1	<0.1	<0.010
552341		<5	5.4	0.8	20	11	74	<1	<0.1	<0.010
552342		<5	5.9	1.2	21	6	42	<1	<0.1	<0.010
552343		<5	21.0	2.9	38	10	49	<1	<0.1	<0.010

RAPPORT: C95-60326.0 (COMPLET)

DATE DE L'IMPRESSION: 4-APR-95

PROJET: 40349

PAGE 2

NUMÉRO DE L'ÉCHANTILLON	ÉLÉMENT UNITÉS	Au30 PPB	As PPM	Sb PPM	Cu PPM	Pb PPM	Zn PPM	Mo PPM	Ag PPM	Hg PPM
552344		<5	208.0	35.9	78	7	48	<1	<0.1	<0.010
552345		24	258.0	47.1	79	35	82	5	0.6	<0.010
552346		<5	5.6	1.7	14	4	43	<1	<0.1	<0.010
552347		<5	35.0	8.4	20	3	26	<1	<0.1	<0.010
552348		<5	3.9	1.5	9	8	163	<1	<0.1	0.029
552349		<5	3.8	1.4	29	8	58	2	<0.1	<0.010
552350		19	4.4	1.8	38	7	44	<1	<0.1	<0.010
552351		33	660.0	14.0	70	3	30	<1	<0.1	<0.010
552352		19	5.3	2.6	13	5	37	<1	<0.1	<0.010
552354		64	592.0	32.1	84	10	68	<1	<0.1	<0.010
552355		<5	19.0	3.6	52	5	69	<1	<0.1	<0.010
552356		<5	19.0	1.8	54	5	43	<1	<0.1	<0.010
552357		<5	13.0	2.5	74	6	31	<1	<0.1	<0.010
552358		7	113.0	19.0	17	<2	24	<1	<0.1	<0.010
552359		16	71.0	10.0	87	3	26	<1	<0.1	<0.010
552360		43	1100.0	13.0	2	<2	30	<1	<0.1	<0.010
552361		18	932.0	3.8	5	<2	48	<1	<0.1	<0.010
552362		911	1660.0	<1.9	37	58	112	4	0.2	<0.010
552363		100	115.0	2.5	78	40	83	2	<0.1	<0.010
552364		33	73.0	2.9	50	5	68	3	<0.1	<0.010
552365		702	46.0	2.0	128	4	60	<1	0.6	<0.010
552366		34	44.0	2.1	98	<2	54	<1	<0.1	<0.010
552367		60	33.0	2.1	105	<2	50	<1	<0.1	<0.010
552368		28	40.0	2.5	84	<2	51	2	<0.1	<0.010
552369		13	66.0	2.0	109	<2	52	<1	<0.1	<0.010
552370		<5	73.0	1.8	99	<2	68	2	<0.1	<0.010
552371		8	47.0	1.6	96	<2	44	2	<0.1	<0.010
552372		<5	108.0	2.0	94	3	45	2	<0.1	<0.010
552373		9	67.0	2.2	64	<2	47	<1	<0.1	<0.010
552374		<5	114.0	1.7	61	<2	55	<1	<0.1	<0.010
552375		<5	166.0	1.9	99	<2	63	<1	<0.1	<0.010
552376		10	64.0	1.8	202	3	61	<1	<0.1	<0.010
552377		7	99.0	1.9	99	3	61	<1	<0.1	<0.010
552378		<5	73.0	1.7	72	<2	39	<1	<0.1	<0.010
552379		<5	46.0	1.6	98	<2	43	<1	<0.1	<0.010
552380		33	35.0	1.5	66	3	45	<1	<0.1	<0.010
552381		87	30.0	1.7	78	3	47	<1	<0.1	<0.010
552382		5	52.0	2.0	48	3	35	<1	<0.1	<0.010
552383		<5	57.0	1.0	70	3	46	<1	<0.1	<0.010
552384		<5	17.0	1.9	145	3	35	<1	<0.1	<0.010

RAPPORT: C95-60327.0 (COMPLET)

DATE DE L'IMPRESSION: 4-APR-95

PROJET: 40349

PAGE 1

NUMÉRO DE L'ÉCHANTILLON	ÉLÉMENT UNITÉS	Au30 PPB	As PPM	Sb PPM	Cu PPM	Pb PPM	Zn PPM	Mo PPM	Ag PPM	Hg PPM
552386		<5	2.7	2.5	42	6	103	3	<0.1	<0.010
552387		<5	4.8	1.9	59	3	51	2	<0.1	<0.010
552388		<5	2.8	1.4	52	6	47	2	<0.1	<0.010
552389		<5	5.5	1.6	38	5	49	<1	<0.1	<0.010
552390		<5	<1.0	1.2	71	4	82	3	<0.1	<0.010
552391		<5	7.0	0.5	34	5	53	3	<0.1	<0.010
552392		<5	2.0	0.5	143	4	98	4	<0.1	<0.010
552393		<5	2.8	1.4	286	3	124	2	<0.1	<0.010
552395		<5	4.4	1.8	237	4	127	3	<0.1	<0.010
552396		<5	2.8	0.9	18	3	95	2	<0.1	<0.010
552397		<5	1.7	<0.2	15	6	59	5	<0.1	<0.010
552398		<5	4.0	<0.2	13	6	105	3	<0.1	<0.010
552399		<5	2.9	<0.2	14	4	114	3	<0.1	<0.010
552400		<5	2.1	<0.2	10	5	95	3	<0.1	<0.010
552401		<5	4.2	<0.2	18	5	140	3	<0.1	<0.010
552402		<5	6.0	<0.2	18	6	112	4	<0.1	<0.010
552403		<5	6.2	<0.2	20	4	44	3	<0.1	<0.010
552404		<5	7.2	<0.2	23	4	7	3	<0.1	<0.010
552405		<5	4.3	<0.2	14	5	56	3	<0.1	<0.010
552406		<5	2.3	<0.2	47	3	77	3	<0.1	<0.010
552407		<5	2.3	<0.2	29	<2	87	3	<0.1	<0.010
552408		<5	1.9	<0.2	22	<2	64	2	<0.1	<0.010
552409		<5	<1.0	<0.2	17	3	76	3	<0.1	<0.010
552410		9	4.5	<0.2	20	<2	10881	4	<0.1	<0.010
552411		<5	1.6	<0.2	27	<2	295	3	<0.1	<0.010
552412		<5	1.9	<0.2	20	<2	119	3	<0.1	<0.010
552413		<5	3.5	<0.2	35	3	57	3	0.2	<0.010
552414		<5	3.6	<0.2	17	4	137	2	<0.1	<0.010
552415		26	1.8	<0.2	19	5	83	3	<0.1	<0.010
552416		<5	1.8	<0.2	33	3	31	3	<0.1	<0.010
552417		<5	1.6	<0.2	23	3	65	2	<0.1	<0.010
552418		<5	2.1	0.7	27	5	49	2	<0.1	<0.010
552419		30	2.4	<0.2	36	6	85	3	<0.1	<0.010
552420		<5	7.4	0.7	40	5	94	2	<0.1	<0.010
552421		<5	5.7	<0.4	19	5	122	2	<0.1	<0.010
552422		9	5.1	<0.2	30	6	59	2	<0.1	<0.010
552423		<5	12.0	<0.2	34	4	53	2	0.2	<0.010
552424		<5	5.7	<0.2	37	3	80	3	<0.1	<0.010
552425		<5	4.7	0.5	70	<2	106	2	0.2	<0.010
552426		<5	4.6	<0.2	45	<2	188	3	<0.1	<0.010

RAPPORT: C95-60327.0 (COMPLET)

DATE DE L'IMPRESSION: 4-APR-95

PROJET: 40349

PAGE 2

NUMÉRO DE L'ÉCHANTILLON	ÉLÉMENT UNITÉS	Au30 PPB	As PPM	Sb PPM	Cu PPM	Pb PPM	Zn PPM	Mo PPM	Ag PPM	Hg PPM
552427		<5	6.8	<0.2	34	3	112	3	<0.1	<0.010
552428		<5	6.9	<0.2	34	3	82	3	<0.1	<0.010
552429		<5	3.2	<0.2	19	3	62	3	<0.1	<0.010
552430		<5	3.7	<0.2	28	3	50	3	<0.1	<0.010
552431		<5	2.8	<0.2	53	4	88	4	<0.1	<0.010
552432		<5	1.8	<0.2	49	4	104	3	<0.1	<0.010
552433		<5	4.8	0.5	52	<2	66	3	0.2	<0.010
552434		<5	6.4	0.6	50	<2	130	2	0.2	<0.010
552435		<5	1.4	0.5	22	<2	104	3	<0.1	<0.010
552436		<5	1.2	<0.2	22	3	88	3	<0.1	<0.010
552437		<5	1.3	<0.2	29	4	72	3	<0.1	<0.010
552438		<5	<1.0	<0.2	5	4	32	<1	<0.1	<0.010
552439		<5	<1.0	<0.2	26	3	61	3	<0.1	<0.010
552440		<5	1.6	<0.2	60	<2	67	2	0.2	<0.010
552441		<5	5.4	0.9	35	4	55	2	<0.1	<0.010
552442		<5	1.7	0.6	10	3	87	2	<0.1	<0.010
552443		<5	3.0	0.8	10	<2	76	3	<0.1	<0.010
552444		<5	<1.0	<0.2	9	<2	73	2	<0.1	<0.010
552445		<5	<1.0	0.4	12	<2	82	2	<0.1	<0.010
552446		<5	1.3	<0.2	6	<2	82	2	<0.1	<0.010
552447		<5	<1.0	<0.2	11	3	26	2	<0.1	<0.010
552448		<5	<1.0	<0.2	24	3	19	2	<0.1	<0.010
552449		<5	<1.0	<0.2	23	<2	13	3	<0.1	<0.010
552450		<5	<1.0	<0.2	63	5	105	3	<0.1	<0.010
552451		<5	1.2	<0.2	58	6	56	3	0.2	<0.010
552452		<5	3.5	0.6	73	4	58	2	0.2	<0.010
552453		<5	5.3	0.5	47	5	95	3	<0.1	<0.010
552454		<5	1.5	1.6	37	4	51	3	<0.1	<0.010
552455		<5	1.5	1.0	35	4	75	3	<0.1	<0.010
552456		20	<1.0	0.4	29	5	66	3	<0.1	<0.010
552457		<5	<1.0	0.4	45	4	70	3	<0.1	<0.010
552458		<5	<1.0	<0.2	25	6	73	3	<0.1	<0.010
552459		14	<1.0	0.4	39	3	70	3	<0.1	<0.010
552460		<5	<1.0	0.7	61	4	63	2	<0.1	<0.010
552461		<5	1.1	0.6	30	5	70	3	<0.1	<0.010
552462		<5	<1.0	0.4	47	6	82	4	<0.1	<0.010
552463		<5	<1.0	0.3	63	5	97	5	<0.1	<0.010
552464		<5	2.3	0.5	41	5	69	3	<0.1	<0.010
552465		6	2.7	0.5	43	4	52	2	<0.1	<0.010
552466		20	5.8	0.8	29	4	61	4	<0.1	<0.010

RAPPORT: C95-60327.0 (COMPLET)

DATE DE L'IMPRESSION: 4-APR-95

PROJET: 40349

PAGE 3

NUMÉRO DE L'ÉCHANTILLON	ÉLÉMENT UNITÉS	Au30 PPB	As PPM	Sb PPM	Cu PPM	Pb PPM	Zn PPM	Mo PPM	Ag PPM	Hg PPM
----------------------------	-------------------	-------------	-----------	-----------	-----------	-----------	-----------	-----------	-----------	-----------

552467		<5	7.5	0.9	33	4	54	3	<0.1	<0.010
552468		9	18.0	1.0	21	4	32	3	<0.1	<0.010
552469		8	75.0	2.9	82	4	39	2	0.2	<0.010
552470		17	178.0	2.9	103	5	53	4	0.4	<0.010
552471		21	194.0	4.5	66	5	63	8	0.2	<0.010

552472		182	47.0	4.1	88	8	117	4	0.4	<0.010
552473		111	77.0	4.1	88	11	58	8	0.6	<0.010
552475		32	14.0	2.4	54	9	29	3	0.3	<0.010
552476		21	64.0	<0.2	48	6	101	3	<0.1	<0.010
552477		35	30.0	<0.2	45	5	94	3	<0.1	<0.010

552478		15	22.0	<0.2	41	6	91	3	0.2	<0.010
552479		9	6.6	0.4	51	5	74	4	<0.1	<0.010
552480		<5	16.0	<0.2	73	10	91	3	0.2	<0.010

RAPPORT: C95-60326.0 (COMPLET)

DATE DE L'IMPRESSION: 4-APR-95

PROJET: 40349

PAGE 3

NUMÉRO DE L'ÉCHANTILLON	ÉLÉMENT UNITÉS	Au30 PPB	As PPM	Sb PPM	Cu PPM	Pb PPM	Zn PPM	Mo PPM	Ag PPM	Hg PPM
552385		<5	19.0	1.9	106	3	40	<1	<0.1	<0.010
552499		<5	3.2	1.4	26	8	48	<1	<0.1	0.025

RAPPORT: C95-60328.0 (COMPLET)

DATE DE L'IMPRESSION: 7-APR-95

PROJET: 40349

PAGE 1

NUMÉRO DE L'ÉCHANTILLON	ÉLÉMENT UNITÉS	Au30 PPB	As PPM	Sb PPM	Cu PPM	Pb PPM	Zn PPM	Mo PPM	Ag PPM	Hg PPM
552228		<5	2.1	1.8	17	5	53	2	<0.1	<0.010
552229		7	3.1	1.6	24	4	114	2	<0.1	<0.010
552230		<5	2.8	1.4	31	5	91	2	<0.1	<0.010
552231		<5	4.1	1.0	36	6	100	2	<0.1	<0.010
552232		<5	3.8	0.9	34	4	81	2	<0.1	<0.010
552233		<5	1.6	0.9	42	3	89	2	<0.1	<0.010
552234		<5	1.6	0.7	56	3	63	2	<0.1	<0.010
552235		<5	2.4	0.7	77	3	80	2	0.2	<0.010
552236		<5	2.4	0.7	40	3	64	2	<0.1	<0.010
552237		<5	1.8	5.8	224	6	126	2	0.3	<0.010
552238		<5	1.1	0.8	60	4	70	2	<0.1	0.014
552239		<5	1.1	<0.2	61	3	56	<1	<0.1	<0.010
552240		<5	1.4	0.6	60	3	45	2	<0.1	<0.010
552241		88	1.8	0.6	64	4	53	2	<0.1	<0.010
552242		<5	<1.0	0.5	57	3	48	<1	<0.1	0.014
552243		<5	<1.0	0.9	55	<2	54	2	<0.1	<0.010
552244		<5	1.6	1.0	58	4	58	2	<0.1	<0.010
552245		12	<1.0	1.2	38	4	61	<1	<0.1	<0.010
552246		14	2.4	0.9	42	4	90	2	<0.1	0.010
552247		301	10.0	1.7	46	5	80	2	0.2	0.018
552248		657	9.0	1.4	57	5	86	2	0.2	0.014
552249		<5	4.0	1.6	11	3	35	<1	<0.1	0.020
552250		147	7.5	1.1	39	5	73	2	<0.1	<0.010
552251		191	44.0	1.8	49	4	94	3	<0.1	<0.010
552252		492	36.0	2.1	48	3	83	3	0.2	0.018
552253		36	165.0	4.7	58	3	77	2	0.3	<0.010
552254		640	345.0	9.1	77	4	61	3	<0.1	<0.010
552255		166	335.0	7.4	78	4	90	2	<0.1	<0.010
552256		413	1310.0	10.0	90	4	39	2	0.2	0.017
552257		86	1160.0	5.4	65	5	29	2	<0.1	0.028
552258		953	1170.0	12.0	17	<2	23	<1	0.2	0.021
552259		167	798.0	6.2	166	5	33	<1	0.2	<0.010
552260		172	1050.0	7.9	32	4	23	<1	<0.1	<0.010
552261		145	627.0	6.8	60	4	37	2	0.2	<0.010
552262		72	860.0	9.5	62	<2	33	<1	0.2	0.011
552263		35	515.0	10.0	80	4	30	<1	0.2	<0.010
552264		8	61.0	3.5	94	<2	20	<1	<0.1	<0.010
552265		8	35.0	4.5	76	<2	16	<1	<0.1	<0.010
552266		<5	11.0	5.2	84	3	21	<1	<0.1	<0.010
552267		7	116.0	10.0	94	3	35	<1	<0.1	0.011

RAPPORT: C95-60328.0 (COMPLET)

DATE DE L'IMPRESSION: 7-APR-95

PROJET: 40349

PAGE 2

NUMÉRO DE L'ÉCHANTILLON	ÉLÉMENT UNITÉS	Au30 PPB	As PPM	Sb PPM	Cu PPM	Pb PPM	Zn PPM	Mo PPM	Ag PPM	Hg PPM
----------------------------	-------------------	-------------	-----------	-----------	-----------	-----------	-----------	-----------	-----------	-----------

552268		67	105.0	33.9	98	34	123	2	0.6	<0.010
552269		244	36.0	157.0	597	96	2090	8	2.9	0.023
552270		10	33.0	8.8	42	11	81	9	0.2	<0.010
552271		14	18.0	2.2	42	9	77	2	0.2	<0.010
552272		18	5.2	1.3	31	12	56	2	0.3	<0.010

552273		15	11.0	0.7	53	6	85	2	<0.1	0.015
552274		<5	11.0	<0.2	68	5	86	2	0.2	<0.010
552275		19	8.3	<0.2	65	5	80	2	<0.1	0.020
552276		5	25.0	<0.2	55	6	112	2	0.2	<0.010
552277		6	26.0	8.0	79	4	106	2	<0.1	<0.010

552278		40	528.0	172.0	12	4	130	<1	<0.1	<0.010
552279		16	314.0	170.0	37	5	48	3	<0.1	0.015
552280		13	414.0	84.3	51	5	47	2	<0.1	<0.010
552281		15	420.0	18.0	83	7	54	3	<0.1	0.015
552282		14	4.0	1.8	16	5	68	<1	<0.1	0.018

552283		22	7.1	3.0	10	6	60	<1	<0.1	<0.010
552284		55	25.0	2.3	15	6	73	<1	<0.1	<0.010
552285		23	133.0	7.3	25	7	76	<1	<0.1	<0.010
552286		21	66.0	2.4	11	7	42	<1	<0.1	0.039
552287		8	32.0	1.6	23	11	124	<1	0.2	0.014

552500		8	8.4	<0.2	59	5	126	2	0.2	<0.010
--------	--	---	-----	------	----	---	-----	---	-----	--------

RAPPORT: C95-60348.0 (COMPLET)

DATE DE L'IMPRESSION: 7-APR-95

PROJET: 40349

PAGE 1

NUMÉRO DE L'ÉCHANTILLON	ÉLÉMENT UNITÉS	Au30 PPB	As PPM	Sb PPM	Cu PPM	Pb PPM	Zn PPM	Mo PPM	Ag PPM	Hg PPM
551560		<5	3.0	<0.2	126	3	53	2	<0.1	<0.010
551561		14	1.4	<0.2	338	<2	30	3	0.3	0.012
551562		<5	1.2	<0.2	78	<2	27	<1	<0.1	<0.010
551563		<5	1.3	<0.2	49	3	65	<1	<0.1	0.012
551564		<5	1.5	<0.2	165	<2	35	<1	<0.1	<0.010
551565		<5	2.4	0.7	306	<2	25	2	<0.1	<0.010
551566		<5	2.0	0.5	126	3	25	<1	<0.1	<0.010
551567		<5	2.3	<0.2	162	<2	28	<1	<0.1	<0.010
551568		<5	2.5	0.8	99	<2	35	<1	<0.1	<0.010
551569		39	1.9	0.7	120	<2	29	<1	<0.1	<0.010
551570		<5	2.1	<0.2	188	3	52	3	<0.1	<0.010
551571		<5	1.9	<0.2	3	3	21	<1	<0.1	<0.010
551572		<5	1.6	<0.2	2	3	15	2	<0.1	<0.010
551573		<5	1.5	<0.2	112	4	18	4	<0.1	<0.010
551574		<5	<1.0	<0.2	204	3	19	2	<0.1	<0.010
551575		<5	<1.0	<0.2	210	<2	19	<1	0.2	<0.010
551576		<5	1.4	<0.2	9	<2	17	<1	<0.1	<0.010
551577		<5	<1.0	<0.2	16	<2	13	3	<0.1	<0.010
551578		<5	1.5	0.4	102	3	91	2	<0.1	<0.010
551579		<5	<1.0	<0.2	22	<2	90	<1	<0.1	<0.010
551580		65	1.6	0.3	28	4	95	2	<0.1	<0.010
551581		<5	2.5	<0.2	94	4	27	4	0.2	<0.010
551582		<5	1.5	<0.2	86	3	26	2	<0.1	<0.010
551583		<5	<1.0	<0.2	65	<2	30	2	<0.1	<0.010
551584		<5	<1.0	<0.2	52	3	41	2	<0.1	<0.010
551585		<5	4.4	0.5	14	3	31	2	<0.1	<0.010
551586		<5	5.8	<0.2	414	3	43	2	0.3	<0.010
551587		<5	9.1	<0.2	42	<2	50	<1	<0.1	<0.010
551588		<5	3.2	<0.2	116	3	74	2	0.2	<0.010
551589		<5	2.3	<0.2	49	5	70	4	0.2	<0.010
551590		<5	2.2	<0.2	63	6	112	4	0.3	<0.010
551591		<5	2.0	<0.2	52	6	119	2	0.2	<0.010
551592		<5	2.5	<0.2	34	6	290	2	<0.1	<0.010
551593		<5	1.7	<0.2	93	4	1371	2	0.3	<0.010
551594		<5	1.6	<0.2	34	5	128	2	<0.1	<0.010
551595		<5	10.0	<0.2	50	12	280	2	0.4	<0.010
551596		<5	5.2	0.7	32	4	297	2	<0.1	<0.010
551597		<5	6.2	0.8	42	7	153	3	0.2	<0.010
551598		<5	4.7	<0.2	70	9	142	2	0.2	<0.010
551599		9	5.5	0.5	277	15	189	2	1.1	<0.010

RAPPORT: C95-60348.0 (COMPLET)

DATE DE L'IMPRESSION: 7-APR-95

PROJET: 40349

PAGE 2

NUMÉRO DE L'ÉCHANTILLON	ÉLÉMENT UNITÉS	Au30 PPB	As PPM	Sb PPM	Cu PPM	Pb PPM	Zn PPM	Mo PPM	Ag PPM	Hg PPM
551600		<5	2.1	<0.2	114	8	80	5	0.2	<0.010
551601		<5	2.0	<0.2	50	7	32	2	<0.1	<0.010
551602		<5	<1.0	<0.2	129	4	53	<1	<0.1	<0.010
551603		<5	3.0	<0.2	94	<2	36	<1	<0.1	<0.010
551604		<5	2.7	<0.2	35	<2	43	<1	<0.1	<0.010
551605		<5	4.3	<0.2	20	4	43	<1	<0.1	<0.010
551606		<5	3.8	<0.2	31	5	24	<1	<0.1	<0.010
551607		<5	5.2	0.3	49	5	34	<1	<0.1	<0.010
551608		<5	3.6	0.3	9	5	24	<1	<0.1	<0.010
551609		<5	6.3	0.6	27	4	26	<1	<0.1	<0.010
551610		<5	4.0	0.3	50	4	18	<1	<0.1	<0.010
551611		7	2.9	<0.2	69	<2	24	<1	<0.1	<0.010
551612		22	1.7	<0.2	82	<2	12	<1	<0.1	<0.010
551613		6	1.2	<0.2	130	<2	8	<1	<0.1	<0.010
551614		<5	1.9	<0.2	109	<2	19	<1	<0.1	<0.010

RAPPORT: C95-60349.0 (COMPLET)

DATE DE L'IMPRESSION: 7-APR-95

PROJET: 40349

PAGE 1

NUMÉRO DE L'ÉCHANTILLON	ÉLÉMENT UNITÉS	Au30 PPB	As PPM	Sb PPM	Cu PPM	Pb PPM	Zn PPM	Mo PPM	Ag PPM	Hg PPM
551615		<5	<1.0	<0.2	173	5	27	<1	0.1	<0.010
551616		<5	1.4	<0.2	41	3	36	3	0.1	<0.010
551617		<5	1.5	0.3	93	13	52	3	0.3	<0.010
551618		<5	1.5	<0.2	39	4	94	2	0.2	<0.010
551619		<5	<1.0	<0.2	17	4	46	3	<0.1	<0.010
551620		<5	<1.0	<0.2	19	5	59	5	0.1	<0.010
551621		<5	1.1	<0.2	20	4	58	3	<0.1	<0.010
551622		<5	<1.0	<0.2	72	<2	95	3	0.1	<0.010
551623		<5	1.3	<0.2	92	4	60	2	0.3	<0.010
551624		<5	1.0	<0.2	20	2	47	5	0.1	<0.010
551625		<5	1.4	<0.2	21	<2	47	2	<0.1	<0.010
551626		<5	<1.0	<0.2	10	3	42	2	<0.1	<0.010
551627		<5	<1.0	<0.2	9	<2	51	2	<0.1	<0.010
551628		<5	1.2	<0.2	9	6	371	4	0.2	<0.010
551629		<5	<1.0	<0.2	10	3	38	2	0.1	<0.010
551630		<5	<1.0	<0.2	11	3	32	2	<0.1	<0.010
551631		<5	1.5	<0.2	7	3	68	2	<0.1	<0.010
551632		<5	2.8	0.4	161	5	4807	7	0.8	0.249
551633		<5	2.3	0.4	61	4	83	3	0.1	<0.010
551634		<5	2.9	0.6	67	4	93	2	0.3	<0.010
551635		<5	2.7	0.7	43	<2	84	2	0.6	<0.010
551636		13	4.5	0.4	177	9	>19996	6	1.6	3.641
551637		<5	3.5	0.5	122	4	10436	3	1.0	0.981
551638		<5	2.8	<0.2	19	3	377	3	<0.1	0.016
551639		<5	6.3	0.3	9	5	58	3	0.2	0.012
551640		<5	2.6	<0.2	12	4	498	5	0.3	0.017
551641		<5	1.6	<0.2	14	4	47	3	0.3	<0.010
551642		<5	<1.0	<0.2	10	4	31	2	<0.1	<0.010
551643		<5	2.8	0.4	18	3	32	2	0.2	<0.010
551644		<5	2.5	<0.2	14	5	46	5	<0.1	<0.010
551645		<5	13.0	0.3	20	8	54	2	0.3	<0.010
551646		<5	22.0	0.7	21	9	39	4	0.3	<0.010
551647		<5	6.5	0.4	21	8	44	3	0.2	<0.010
551648		<5	2.4	0.5	98	6	55	4	0.4	<0.010
551649		<5	2.8	0.3	25	6	49	2	0.2	<0.010
551650		<5	2.0	<0.2	10	6	35	2	0.2	<0.010
551651		<5	4.0	0.7	9	5	45	2	<0.1	<0.010
551652		<5	2.4	<0.2	14	4	43	3	<0.1	<0.010
551653		<5	3.1	0.3	15	6	46	<1	<0.1	<0.010
551654		<5	2.5	0.3	13	5	52	2	<0.1	<0.010

RAPPORT: C95-60349.0 (COMPLET)

DATE DE L'IMPRESSION: 7-APR-95

PROJET: 40349

PAGE 2

NUMÉRO DE L'ÉCHANTILLON	ÉLÉMENT UNITÉS	Au30 PPB	As PPM	Sb PPM	Cu PPM	Pb PPM	Zn PPM	Mo PPM	Ag PPM	Hg PPM
----------------------------	-------------------	-------------	-----------	-----------	-----------	-----------	-----------	-----------	-----------	-----------

551655		<5	1.7	0.4	15	3	30	5	<0.1	<0.010
551656		<5	1.4	<0.2	12	4	30	2	<0.1	<0.010
551657		<5	2.1	<0.2	20	4	26	2	<0.1	<0.010
551658		<5	2.9	0.3	18	4	44	<1	<0.1	<0.010
551659		<5	2.5	0.3	12	4	39	4	<0.1	<0.010

551660		<5	1.6	<0.2	10	3	34	<1	<0.1	<0.010
551661		<5	3.1	<0.2	21	5	53	2	<0.1	<0.010
551662		<5	2.8	0.4	23	5	57	2	<0.1	<0.010
551663		<5	2.1	<0.2	13	4	57	4	<0.1	<0.010
551664		<5	2.6	<0.2	15	4	360	2	<0.1	<0.010

551665		<5	4.0	<0.2	18	6	163	2	<0.1	<0.010
551666		<5	2.2	<0.2	14	4	60	3	<0.1	<0.010
551667		<5	1.9	0.4	8	4	56	5	<0.1	<0.010
551668		<5	2.1	0.3	45	5	66	2	<0.1	<0.010
551669		<5	1.5	0.4	13	5	95	4	<0.1	<0.010

551670		<5	3.0	<0.2	72	3	60	3	<0.1	<0.010
--------	--	----	-----	------	----	---	----	---	------	--------

RAPPORT: C95-60347.0 (COMPLET)

DATE DE L'IMPRESSION: 10-APR-95

PROJET: 40349

PAGE 1

NUMÉRO DE L'ÉCHANTILLON	ÉLÉMENT UNITÉS	Au30 PPB	As PPM	Sb PPM	Cu PPM	Pb PPM	Zn PPM	Mo PPM	Ag PPM	Hg PPM
551501		7	4.2	2.1	212	<2	34	3	<0.1	0.013
551502		<5	2.1	2.0	82	<2	42	2	<0.1	<0.010
551503		<5	6.3	1.9	154	3	34	3	<0.1	<0.010
551504		<5	5.8	2.0	128	<2	22	2	<0.1	<0.010
551505		7	2.2	1.3	170	<2	16	3	<0.1	<0.010
551506		<5	2.5	0.8	150	<2	18	3	<0.1	<0.010
551507		<5	3.8	0.9	185	3	18	3	<0.1	<0.010
551508		<5	<1.0	1.2	194	3	19	3	<0.1	<0.010
551509		<5	1.8	2.0	34	<2	18	2	<0.1	<0.010
551510		<5	2.5	2.1	35	3	10	2	<0.1	<0.010
551511		<5	2.0	1.8	101	<2	16	<1	<0.1	<0.010
551512		<5	<1.0	1.6	43	<2	16	2	<0.1	<0.010
551513		<5	1.7	2.2	54	<2	15	3	<0.1	<0.010
551514		<5	1.7	1.6	110	3	27	2	<0.1	<0.010
551515		<5	1.0	2.3	54	<2	27	2	<0.1	<0.010
551516		<5	1.8	1.7	38	<2	28	2	<0.1	<0.010
551517		<5	2.2	1.6	39	3	24	4	<0.1	<0.010
551518		<5	<1.0	1.7	20	<2	30	3	<0.1	<0.010
551519		<5	<1.0	1.5	47	<2	29	2	<0.1	0.011
551520		<5	2.5	2.0	73	3	29	2	<0.1	0.017
551521		<5	1.3	1.5	141	3	30	3	<0.1	<0.010
551522		<5	3.6	2.1	25	3	21	<1	<0.1	<0.010
551523		<5	1.3	0.9	36	3	32	<1	<0.1	<0.010
551524		<5	<1.0	2.2	10	4	30	<1	<0.1	<0.010
551525		<5	<1.0	3.1	13	4	29	3	<0.1	<0.010
551526		<5	3.9	4.8	49	<2	31	<1	<0.1	<0.010
551527		<5	2.9	3.3	98	<2	20	<1	<0.1	<0.010
551528		<5	2.6	2.9	61	<2	11	<1	<0.1	<0.010
551529		<5	4.7	3.4	24	<2	12	2	<0.1	<0.010
551530		14	10.0	10.0	86	<2	18	<1	<0.1	0.011
551531		63	120.0	10.0	80	4	59	2	<0.1	0.015
551532		35	265.0	35.1	1565	8	856	2	0.3	0.023
551533		55	1340.0	20.0	271	10	421	4	<0.1	0.014
551534		49	52.0	9.1	308	9	67	3	0.3	0.013
551535		8	11.0	6.3	22	3	17	<1	<0.1	<0.010
551536		<5	9.1	5.7	19	<2	65	<1	<0.1	<0.010
551537		93	735.0	14.0	663	37	124	4	0.8	<0.010
551538		<5	17.0	5.8	20	3	26	<1	<0.1	0.012
551539		<5	51.0	3.3	6	<2	25	<1	<0.1	0.013
551540		8	29.0	2.5	8	<2	24	3	<0.1	0.013

RAPPORT: C95-60347.0 (COMPLET)

DATE DE L'IMPRESSION: 10-APR-95

PROJET: 40349

PAGE 2

NUMÉRO DE L'ÉCHANTILLON	ÉLÉMENT UNITÉS	Au30 PPB	As PPM	Sb PPM	Cu PPM	Pb PPM	Zn PPM	Mo PPM	Ag PPM	Hg PPM
551541		<5	36.0	2.9	11	<2	27	<1	<0.1	<0.010
551542		8	23.0	2.9	22	<2	32	2	0.2	0.010
551543		9	64.0	2.9	33	3	59	<1	0.2	0.014
551544		6	105.0	2.5	6	6	39	3	0.2	0.012
551545		<5	56.0	1.9	6	4	38	2	<0.1	<0.010
551546		<5	23.0	1.9	6	3	30	<1	<0.1	0.012
551547		<5	25.0	1.4	5	4	45	<1	<0.1	<0.010
551548		<5	18.0	1.6	17	4	104	<1	<0.1	0.013
551549		<5	2.1	1.5	5	<2	18	4	<0.1	0.013
551550		<5	4.9	2.2	4	4	15	4	<0.1	<0.010
551551		<5	3.3	1.4	3	<2	24	<1	<0.1	0.013
551552		<5	5.6	1.7	2	3	18	<1	<0.1	<0.010
551553		<5	3.0	1.2	3	<2	16	4	<0.1	0.012
551554		<5	10.0	1.4	3	<2	20	<1	<0.1	<0.010
551555		<5	22.0	1.4	5	<2	18	<1	<0.1	<0.010
551556		<5	124.0	0.8	9	<2	33	<1	<0.1	0.010
551557		12	125.0	2.0	189	5	542	3	<0.1	<0.010
551558		<5	7.1	1.5	113	<2	38	2	<0.1	<0.010
551559		<5	2.6	0.9	132	<2	16	<1	<0.1	<0.010
552481		<5	1.2	1.0	27	3	46	2	<0.1	<0.010
552482		<5	<1.0	1.0	17	<2	59	4	<0.1	<0.010
552483		<5	<1.0	1.2	18	<2	48	2	<0.1	0.012
552484		<5	<1.0	0.5	27	<2	130	2	<0.1	<0.010
552485		<5	1.6	0.5	13	3	159	2	<0.1	<0.010
552486		<5	<1.0	0.4	14	<2	53	3	<0.1	<0.010
552487		<5	<1.0	0.6	16	3	61	2	<0.1	<0.010
552488		41	1.0	0.7	13	<2	50	2	<0.1	<0.010
552489		<5	<1.0	<0.2	23	<2	49	<1	<0.1	<0.010
552490		<5	<1.0	0.3	14	3	43	4	<0.1	<0.010
552491		<5	2.9	0.5	11	<2	44	2	<0.1	<0.010
552492		<5	1.3	0.5	35	3	28	3	<0.1	<0.010
552493		<5	1.4	0.8	150	3	26	<1	0.2	<0.010
552494		<5	3.7	1.5	89	<2	23	2	<0.1	<0.010
552495		27	242.0	6.2	28	<2	30	<1	<0.1	<0.010
552496		40	515.0	6.2	66	3	30	<1	<0.1	<0.010
552497		52	623.0	7.2	25	<2	29	<1	<0.1	<0.010
552498		36	691.0	6.0	22	<2	23	2	<0.1	<0.010

1322 rue Harricana
Val d'Or, Québec J9P 3X6
Tél: (819) 825-0178
Fax: (819) 825-0256

CHIMITEC LEE

CERTIFICAT D'ANALYSE

RAPPORT: C95-60349.5 (COMPLET)

DATE DE L'IMPRESSION: 25-MAY-95

PROJET: 40349

PAGE 1

NUMÉRO DE L'ÉCHANTILLON	ÉLÉMENT UNITÉS	Zn PCT
----------------------------	-------------------	-----------

551632		0.55
551636		2.52
551637		1.11